

第一周-桑明达 15300180062

第一题

对于形如 $A_3 = \begin{pmatrix} 1 & 0 & 0 & 0 \\ 0 & 1 & 0 & 0 \\ 1 & -2 & 1 & 0 \\ 0 & 1 & -2 & 1 \end{pmatrix}$ 的矩阵，其条件数与维数的关系如图 1。

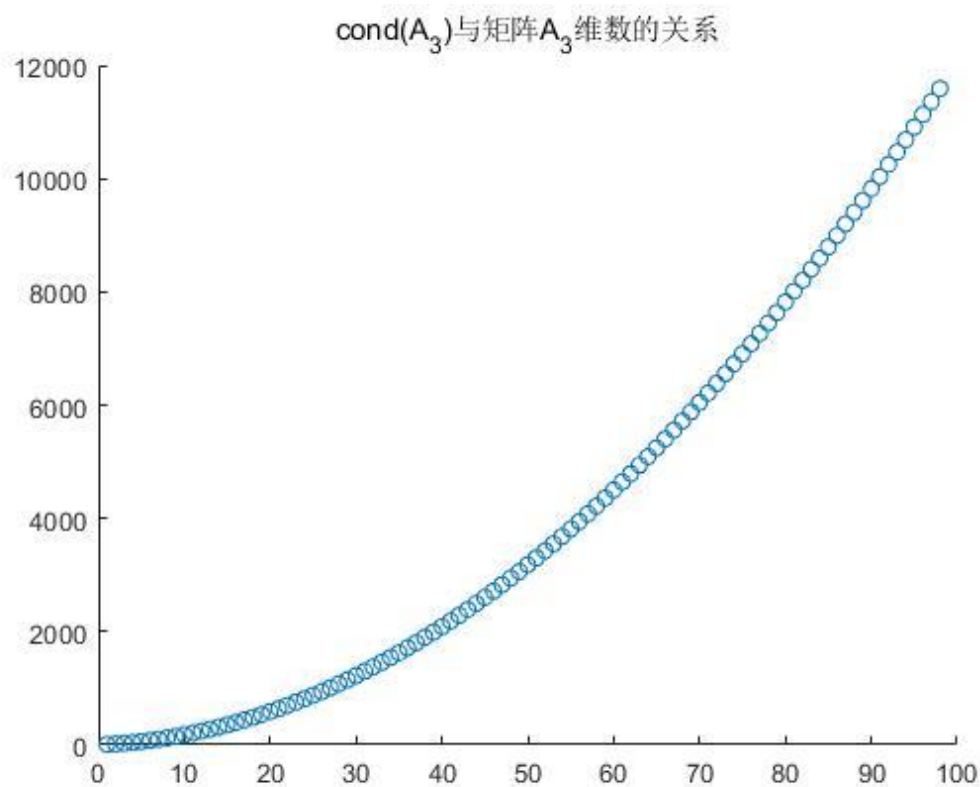


图 1

补充书上的两个图，见图 2，图 3

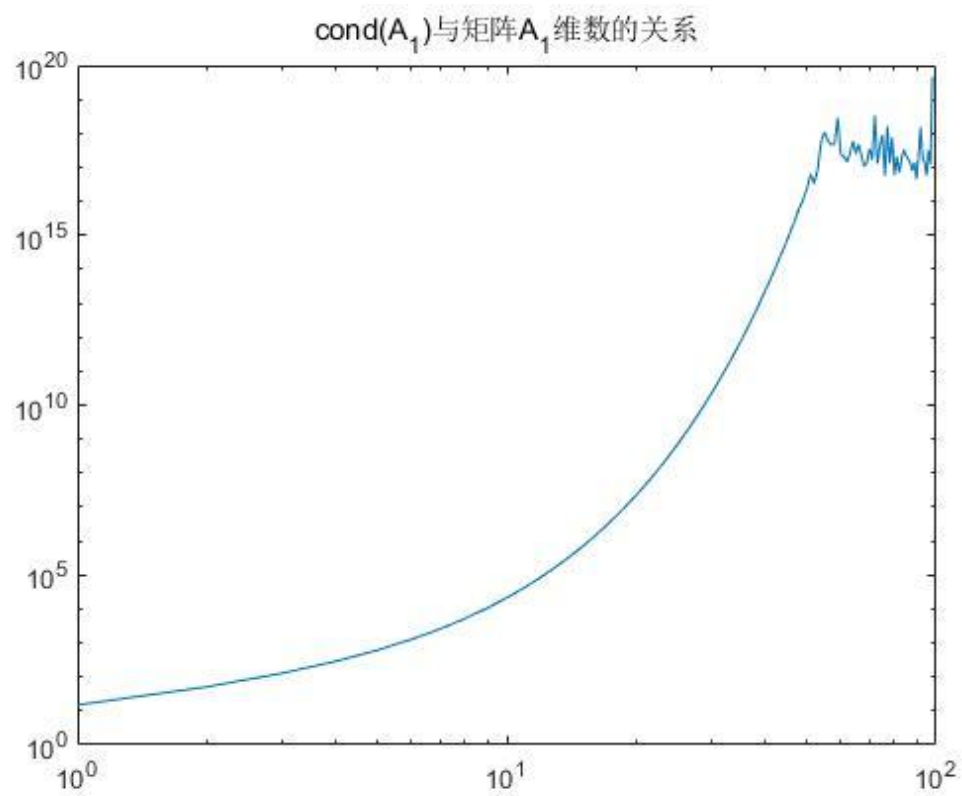


图 2

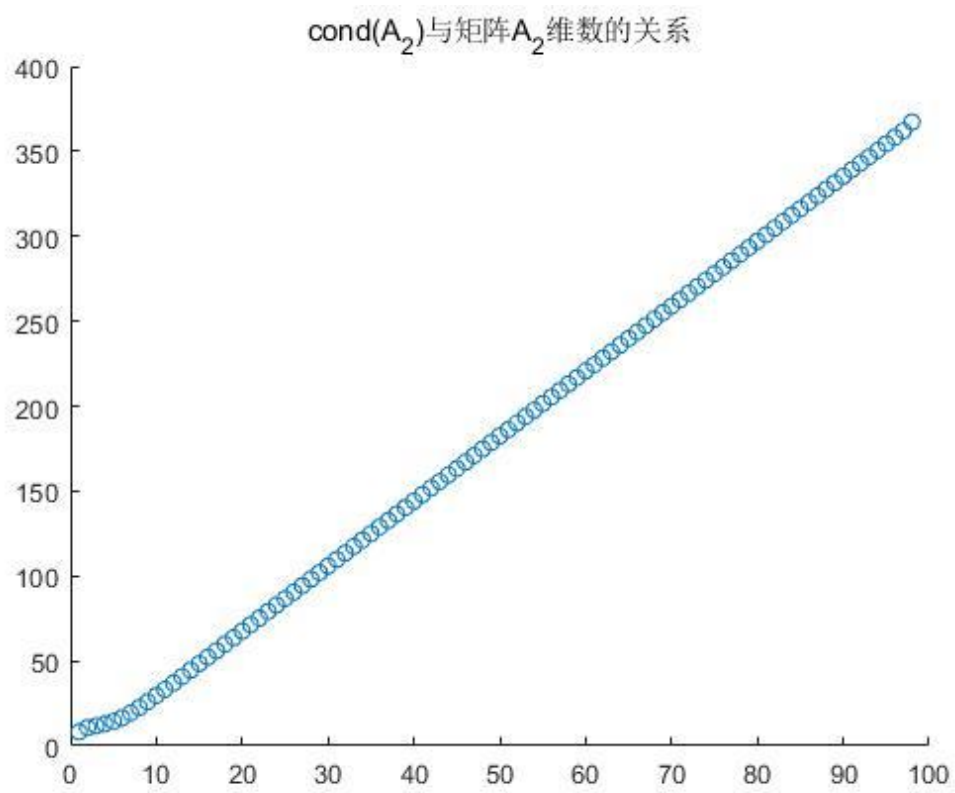


图 3

第二题

由逆推公式 $u_{n-2} = \frac{3u_{n-1} - u_n}{2}$, 以及初始值 $u_n = u_{n-1} = 0.1$, 可递推计算出 u_1 , 在 $n = 10: 100: 1000$ 的计算中, $u_1 = 1.00000000000000001942890293094023945741355e - 01$, 相应的误差 $\text{tol} = 1.3877787807814456755295395851135253906250e - 17$, 是 $2.7755575615628913510590791702270507812500e - 17$ 的一半, 稳定性很强, 误差得到了有效控制。

相关分析: 逆推公式的 $A = \begin{pmatrix} 1.5 & -0.5 \\ 1 & 0 \end{pmatrix}$, 其特征分解是 $\begin{pmatrix} 1 & 0 \\ 0 & 0.5 \end{pmatrix}$, $\begin{pmatrix} 0.7071 & 0.4472 \\ 0.7071 & 0.8944 \end{pmatrix}$, 迭代后误差并没有改变。

第三题

$$\begin{aligned} \|x_{m+n} - x_n\| &<< \|x_{m+n} - x_{m+n-1}\| + \|x_{m+n-1} - x_n\| + \cdots + \|x_{n+1} - x_n\| \\ &<< \alpha^{m+n-1} \|x_1 - x_0\| + \alpha^{m+n-2} \|x_1 - x_0\| + \cdots + \alpha^n \|x_1 - x_0\| \\ &<< \frac{\alpha^n - \alpha^{m+n-1}}{1 - \alpha} \|x_1 - x_0\| \end{aligned}$$

$m \rightarrow \infty$, 有

$$\|x^* - x_n\| << \frac{\alpha^n}{1 - \alpha} \|x_1 - x_0\|$$

附件 1 MATLAB 代码

第一题

```
clear all;close all;clc
n=100;
for i=3:n
    a1=ones(i,1);
    a2=-2*ones(i-1,1);
    a3=ones(i-2,1);
    a=diag(a1)+diag(a2,-1)+diag(a3,-2);
    a(2,1)=0;
    a_cond(1,i-2)=cond(a);

end
x=1:n-2;
scatter(x,a_cond)
title cond(A_3)与矩阵A_3维数的关系
```

第二题

```
%%
clear all;close all;clc
for j=1:100
    n=100*j;
    u(n,1)=0.1;
    u(n-1,1)=0.1;
    for i=(n-2):-1:1
        u(i,1)=(3*u(i+1,1)-u(i+2,1))./2;
    end
    tol(j,1)=u(1)-0.1;
end
fprintf('%40s\n',tol);
fprintf('%40s\n',u(1));
fprintf('%40s\n',2*tol(1));
%%
clear all;close all;clc
A=[1.5 -0.5
    1 0];
[V,D]=eig(A)
V^-1
```

微分方程数值解法

第二周作业

桑明达 15300180062

2018 年 3 月 30 日

1 P24 2 比较不动点和 Newton-Paphson 迭代

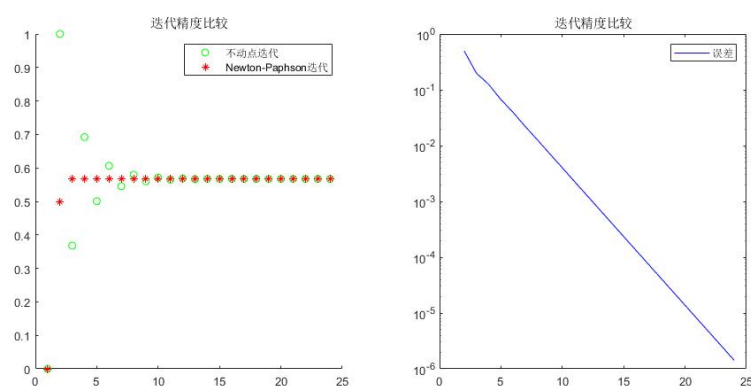


图 1: 比较不动点迭代和 Newton-Paphson 迭代

如图 1，不动点迭代 24 次才能达到 NP 迭代 4 次的精度。

NP 迭代相对于不动点迭代而言，方向性更准确，并且每一步的精确速率很高。

2 P34 1 证明范数等价关系

1. 左边的不等式

$$\begin{aligned}
 \|x\|_p &= \sqrt[p]{|x|_1^p + |x|_2^p + \cdots + |x|_n^p} \\
 \|x\|_q &= \sqrt[q]{|x|_1^q + |x|_2^q + \cdots + |x|_n^q} \\
 \sum_{i=1}^n |x|_i^q &\leq \sum_{i=1}^n |x|_i^p |x|_i^{q-p} \\
 &= \sum_{i=1}^n |x|_i^p (|x|_i^p)^{\frac{q-p}{p}} \\
 &\leq \sum_{i=1}^n |x|_i^p \left(\sum_{i=1}^n |x|_i^p \right)^{\frac{q-p}{p}} \\
 &= \left(\sum_{i=1}^n |x|_i^p \right)^{1+\frac{q-p}{p}} \\
 &= \left(\sum_{i=1}^n |x|_i^p \right)^{\frac{q}{p}}
 \end{aligned}$$

即证。

2. 右边的不等式

根据 Jensen 不等式

$$\begin{aligned}
 \sqrt[p]{\frac{\sum_{i=1}^n |x|_i^p}{n}} &\leq \sqrt[q]{\frac{\sum_{i=1}^n |x|_i^q}{n}} \\
 \text{即有} \\
 \sqrt[p]{\sum_{i=1}^n |x|_i^p} &\leq n^{\frac{1}{p}-\frac{1}{q}} \sqrt[q]{\sum_{i=1}^n |x|_i^q} \\
 \|x\|_p &\leq n^{\frac{1}{p}-\frac{1}{q}} \|x\|_q \\
 \text{即证}
 \end{aligned}$$

3 P41 6 Runge 现象

分别用点数 $n=5,9,13$ 时的等距节点插值公式，对 Runge 现象进行测试，如图 2

分别用点数 $n=5,9,13$ 时的 Chebyshev 多项式极值点插值公式，对 Runge 现象进行测试，如图 3

可以看出，相对于等距节点插值公式，Chebyshev 多项式极值点插值公式有更好的逼近性。

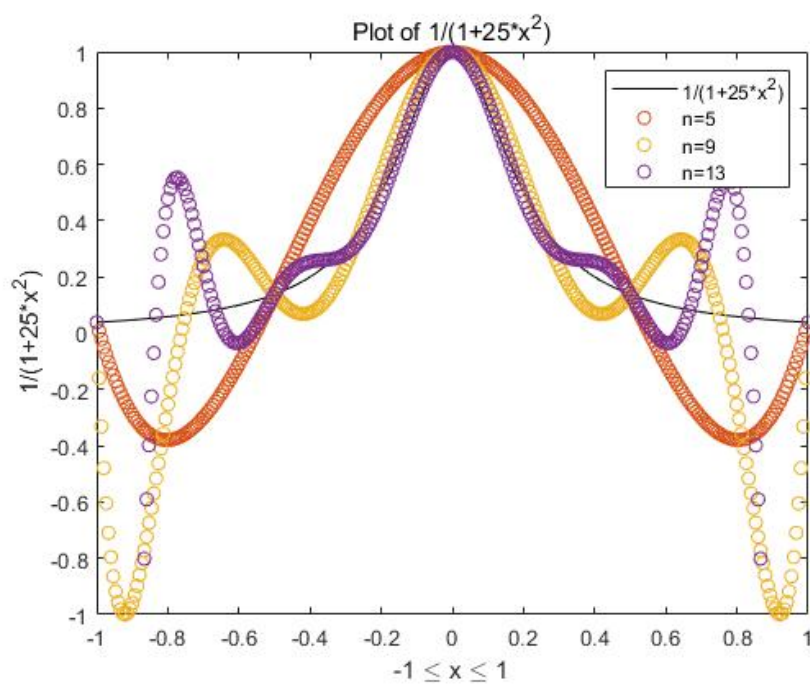


图 2: 等距节点插值公式

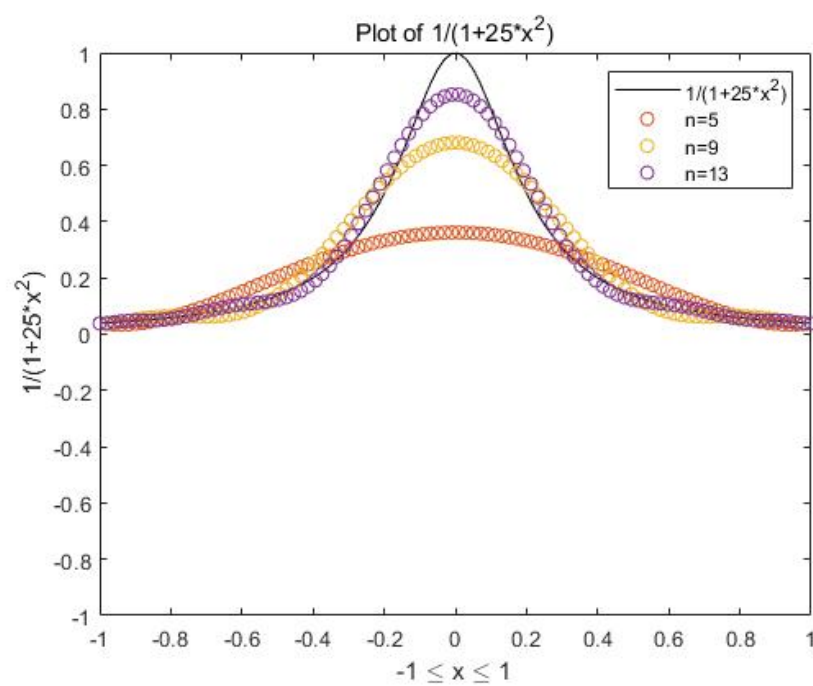


图 3: Chebyshev 多项式极值点插值公式

微分方程数值解法

第三周作业

桑明达 15300180062

2018 年 4 月 5 日

1 P53 1 多种求积公式计算 x^n

如表 1.1、表 1.2 所示，红色加粗数字为可以精确计算的积分值。

另外，在压缩包代码文件夹内有复化求积公式和自适应 Simpson 公式，这些公式积分值随划分区间的增加可以逼近精确值，在此就不再展示结果。

表 1.1 Newton 求积公式

	精确值	中点公式	梯形公式	Simpson 公式	3/8 规则	Cotes 公式					
x^1	0.500000	0.500000	0.500000	0.500000	0.500000	0.500000	0.500000	0.500000	0.500000	0.500000	0.500000
x^2	0.333333	0.250000	0.250000	0.333333	0.333333	0.333333	0.333333	0.333333	0.333333	0.333333	0.333333
x^3	0.250000	0.125000	0.125000	0.250000	0.250000	0.250000	0.250000	0.250000	0.250000	0.250000	0.250000
x^4	0.200000	0.062500	0.062500	0.208333	0.203704	0.200000	0.200000	0.200000	0.200000	0.200000	0.200000
x^5	0.166667	0.031250	0.031250	0.187500	0.175926	0.166667	0.166667	0.166667	0.166667	0.166667	0.166667
x^6	0.142857	0.015625	0.015625	0.177083	0.158436	0.143229	0.143067	0.142857	0.142857	0.142857	0.142857
x^7	0.125000	0.007813	0.007813	0.171875	0.147119	0.126302	0.125733	0.125000	0.125000	0.125000	0.125000
x^8	0.111111	0.003906	0.003906	0.169271	0.139689	0.113900	0.112693	0.111137	0.111127	0.111111	0.111111
x^9	0.100000	0.001953	0.001953	0.167969	0.134774	0.104736	0.102720	0.100116	0.100071	0.100000	0.100000
x^{10}	0.090909	0.000977	0.000977	0.167318	0.131509	0.097931	0.095002	0.091214	0.091097	0.090911	0.090910

表 1.2 Gauss 求积公式

x^n	精确值	1 点	2 点	3 点	4 点	5 点	6 点	7 点	8 点	9 点	10 点
x^1	0.500000	0.500000	0.500000	0.500000	0.500000	0.500000	0.500000	0.500000	0.500000	0.500000	0.500000
x^2	0.333333	0.250000	0.333333	0.333333	0.333333	0.333333	0.333333	0.333333	0.333333	0.333333	0.333333
x^3	0.250000	0.125000	0.250000	0.250000	0.250000	0.250000	0.250000	0.250000	0.250000	0.250000	0.250000
x^4	0.200000	0.062500	0.194444	0.200000	0.200000	0.200000	0.200000	0.200000	0.200000	0.200000	0.200000
x^5	0.166667	0.031250	0.152778	0.166667	0.166667	0.166667	0.166667	0.166667	0.166667	0.166667	0.166667
x^6	0.142857	0.015625	0.120370	0.142500	0.142857	0.142857	0.142857	0.142857	0.142857	0.142857	0.142857
x^7	0.125000	0.007813	0.094907	0.123750	0.125000	0.125000	0.125000	0.125000	0.125000	0.125000	0.125000
x^8	0.111111	0.003906	0.074846	0.108458	0.111088	0.111111	0.111111	0.111111	0.111111	0.111111	0.111111
x^9	0.100000	0.001953	0.059028	0.095563	0.099898	0.100000	0.100000	0.100000	0.100000	0.100000	0.100000
x^{10}	0.090909	0.000977	0.046553	0.084456	0.090641	0.090908	0.090909	0.090909	0.090909	0.090909	0.090909
x^{11}	0.083333	0.000488	0.036716	0.074770	0.082796	0.083325	0.083333	0.083333	0.083333	0.083333	0.083333
x^{12}	0.076923	0.000244	0.028957	0.066259	0.076009	0.076898	0.076923	0.076923	0.076923	0.076923	0.076923
x^{13}	0.071429	0.000122	0.022837	0.058750	0.070036	0.071371	0.071428	0.071429	0.071429	0.071429	0.071429
x^{14}	0.066667	0.000061	0.018011	0.052107	0.064708	0.066554	0.066665	0.066667	0.066667	0.066667	0.066667
x^{15}	0.062500	0.000031	0.014205	0.046224	0.059903	0.062307	0.062494	0.062500	0.062500	0.062500	0.062500
x^{16}	0.058824	0.000015	0.011203	0.041009	0.055535	0.058521	0.058811	0.058823	0.058824	0.058824	0.058824
x^{17}	0.055556	0.000008	0.008836	0.036385	0.051539	0.055112	0.055532	0.055555	0.055556	0.055556	0.055556
x^{18}	0.052632	0.000004	0.006968	0.032283	0.047866	0.052017	0.052590	0.052630	0.052632	0.052632	0.052632
x^{19}	0.050000	0.000002	0.005496	0.028644	0.044480	0.049185	0.049934	0.049997	0.050000	0.050000	0.050000
x^{20}	0.047619	0.000001	0.004334	0.025415	0.041350	0.046577	0.047519	0.047614	0.047619	0.047619	0.047619

微分方程数值解法

第四周作业

桑明达 15300180062

2018 年 4 月 13 日

1 P69 1 隐式 Euler 格式是一阶收敛的

证明. $e_{n+1} = u(t_{n+1}) - u_{n+1}$, 代入隐式 Euler 格式, 有

$$\begin{aligned} |e_{n+1}| &= |u(t_{n+1}) - u_n - \Delta t f_{n+1}| \\ &\leq |u(t_{n+1}) - u(t_n) - \Delta t f(t_{n+1}, u_{n+1})| + |u(t_n) - u_n| + |\Delta t f(t_{n+1}, u(t_{n+1})) - \Delta t f(t_{n+1}, u_n)| \\ &\leq |R_{n+1}| + |e_n| + \Delta t L |e_n| \\ &= \left| \frac{u''(\xi)}{2} \Delta t^2 \right| + (1 + \Delta t L) |e_n| \\ &\leq \frac{M}{2} \Delta t^2 + (1 + \Delta t L) |e_n| \end{aligned}$$

由递推关系, 有

$$\begin{aligned} |e_{n+1}| &\leq \frac{M}{2} \Delta t^2 \frac{(1 + \Delta t L)^{n+1} - 1}{\Delta t L} + (1 + \Delta t L)^{n+1} |e_0| \\ &\leq e^{LT} \left(\frac{M}{2L} \Delta t + |e_0| \right) \end{aligned}$$

□

2 P69 2 四种 Euler 格式计算 $\frac{du}{dt} = au$

如图 1, 四种 Euler 格式都是收敛的。

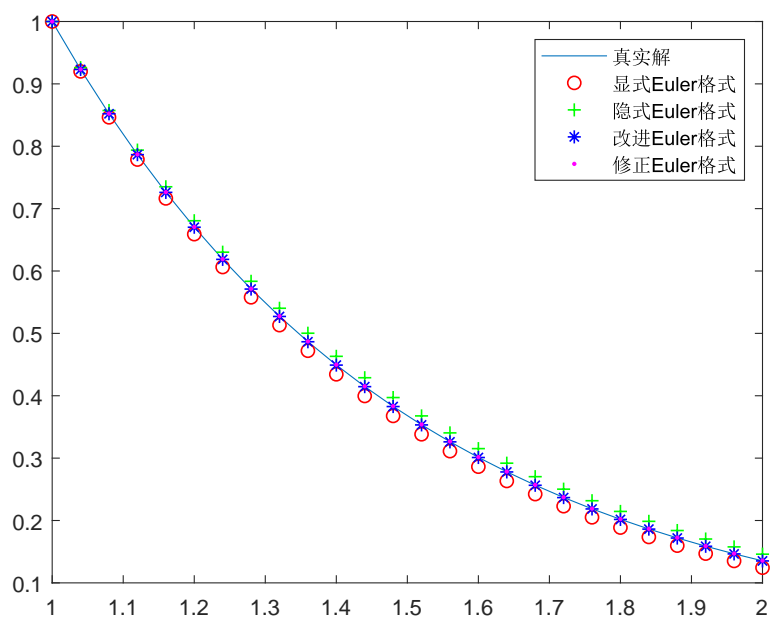


图 1: 四种 Euler 格式计算 $\frac{du}{dt} = au$

3 P73 1 改进, 修正的 Euler 格式的稳定性分析和绝对稳定区间

证明. 对于改进 Euler 格式, 有

$$\begin{aligned} |u_{n+1}^\epsilon - u_{n+1}| &= |u_n^\epsilon - u_n| \left| \frac{1 + \frac{a\Delta t}{2}}{1 - \frac{a\Delta t}{2}} \right| \\ &= |u_0^\epsilon - u_0| \left| \frac{1 + \frac{a\Delta t}{2}}{1 - \frac{a\Delta t}{2}} \right|^n \\ &= \left| \frac{1 + \frac{a\Delta t}{2}}{1 - \frac{a\Delta t}{2}} \right|^n \epsilon \end{aligned}$$

希望初始的舍入误差可以控制, 则

$$\begin{aligned} \left| \frac{1 + \frac{a\Delta t}{2}}{1 - \frac{a\Delta t}{2}} \right| &\leq 1 \\ \left| \frac{1 + \frac{z}{2}}{1 - \frac{z}{2}} \right| &\leq 1 \end{aligned}$$

对于修正 Euler 格式, 希望初始的舍入误差可以控制, 则

$$\begin{aligned} \left| 1 + a\Delta t \left(1 + \frac{a\Delta t}{2} \right) \right| &\leq 1 \\ \left| 1 + z + \frac{z^2}{2} \right| &\leq 1 \end{aligned}$$

□

4 P74 1 Taylor 级数计算 $\frac{du}{dt} = u - u^2$

q=2 时, 有

$$\begin{aligned} F &= (u - u^2)(1 - 2u) \\ u_{n+1} &= u_n + \Delta t \left(f + \frac{\Delta t}{2} F \right) \end{aligned}$$

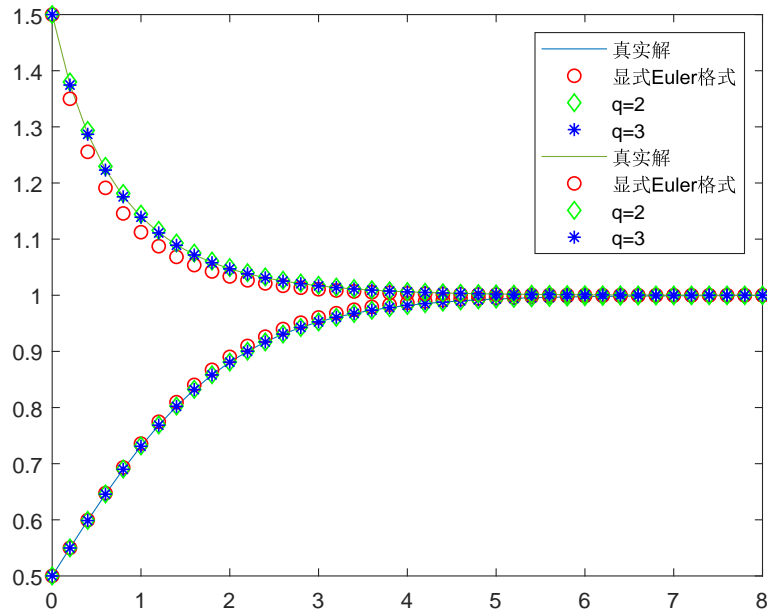


图 2: Taylor 级数计算 $\frac{du}{dt} = u - u^2$

q=3 时, 有

$$G = (u - u^2)^2 (-2)$$

$$u_{n+1} = u_n + \Delta t \left(f + \frac{\Delta t}{2} F \right) + \frac{\Delta t^2 (G + f'_u F)}{6}$$

如图 2

5 P79 2 例 2.3.1

如图 3、图 4

6 P79 3 例 2.2.2

如图 5、图 6

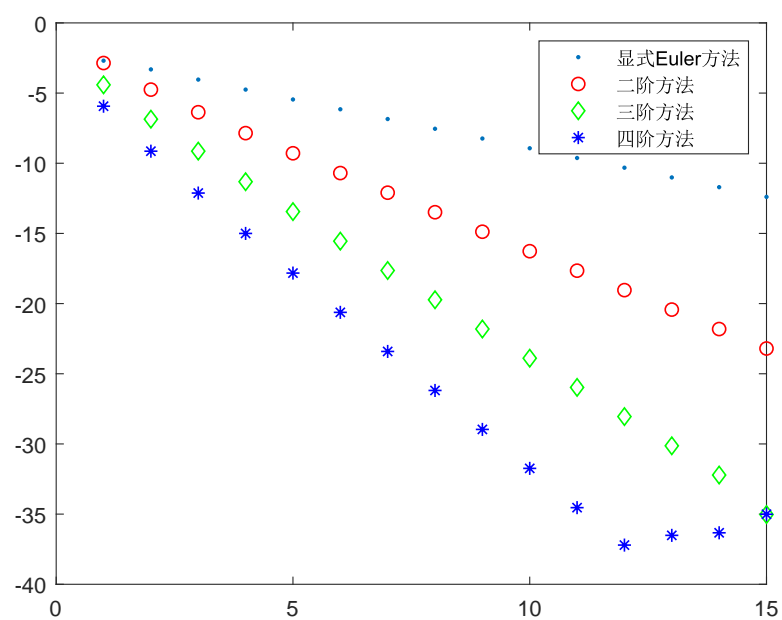


图 3: 收敛阶

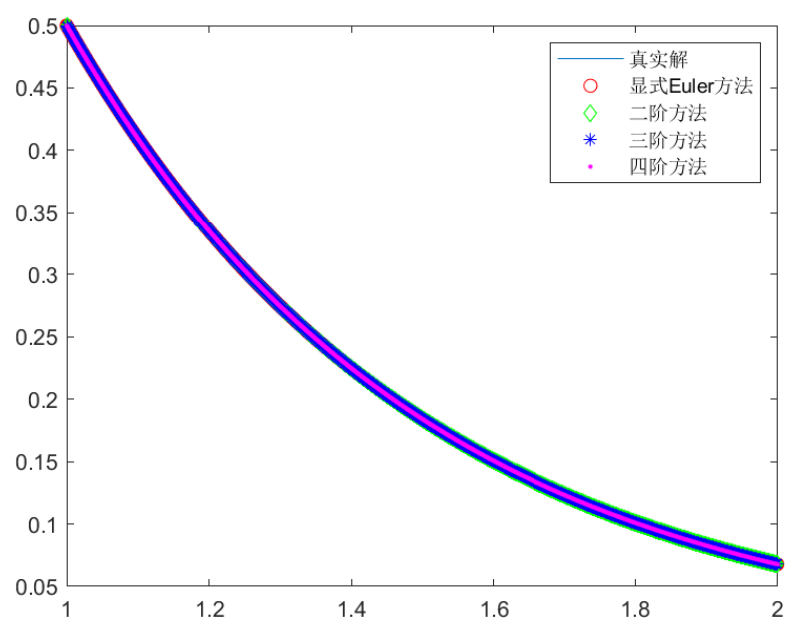


图 4: 所求函数图像

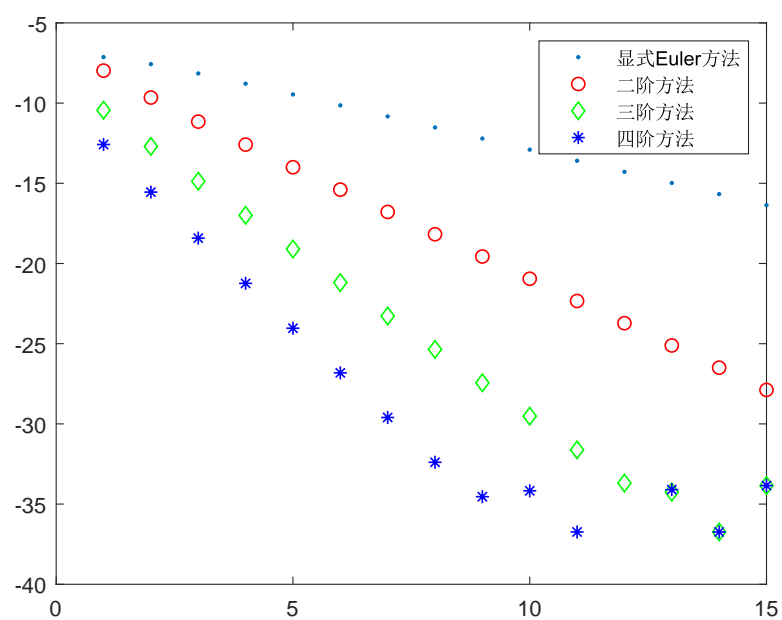


图 5: 收敛阶

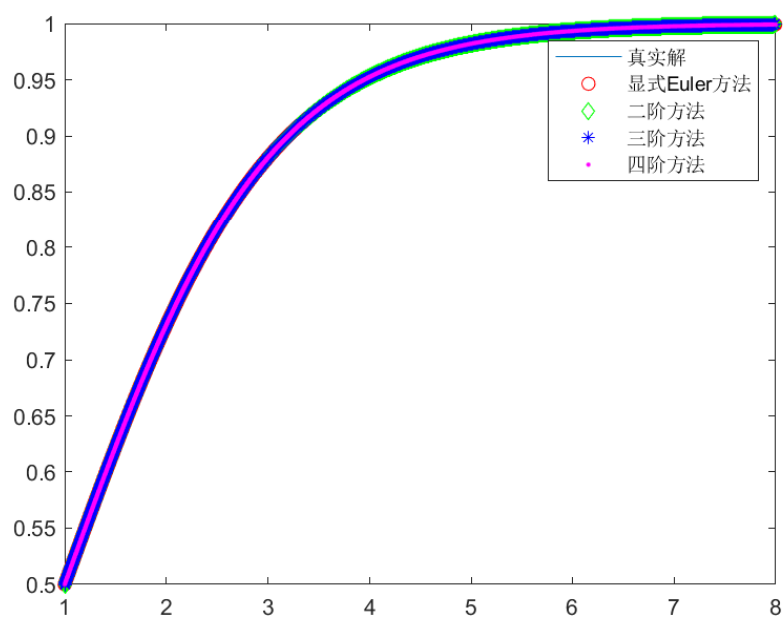


图 6: 所求函数图像

微分方程数值解法

第五周作业

桑明达 15300180062

2018 年 4 月 18 日

1 P84 1 证明引理 2.3.5

证明. $\phi(t, u; \Delta t)$ 满足 Lipschitz 条件, 即

$$\begin{aligned} |\phi(t_n, u_n^\epsilon; \Delta t) - \phi(t_n, u_n; \Delta t)| &\leq L |u_n^\epsilon - u_n| \\ |u_{n+1}^\epsilon - u_{n+1}| &= |u_n^\epsilon + \Delta t \phi(t_n, u_n^\epsilon; \Delta t) - u_n - \Delta t \phi(t_n, u_n; \Delta t)| \\ &\leq |(u_n^\epsilon - u_n)(1 + \Delta t L)| \\ &\leq (1 + \Delta t L)^{n+1} |(u_0^\epsilon - u_0)| \end{aligned}$$

对于 $0 < t \leq T = N\Delta t$, 有

$$|u_{n+1}^\epsilon - u_{n+1}| \leq e^{LT} \epsilon$$

所以单步方法稳定。

□

2 P85 2 证明定理 2.3.6

证明. $\epsilon_{n+1} = u(t_{n+1}) - u_{n+1}$, 代入隐式 Euler 格式, 有

$$\begin{aligned}
 |\epsilon_{n+1}| &= |u(t_{n+1}) - u_{n+1}| \\
 &= |u(t_{n+1}) - u_n - \Delta t \phi(t_n, u_n; \Delta t)| \\
 &\leq |u(t_{n+1}) - u(t_n) - \Delta t \phi(t_n, u(t_n); \Delta t)| + |u(t_n) - u_n| \\
 &\quad + |\Delta t \phi(t_n, u(t_n); \Delta t) - \Delta t \phi(t_n, u_n; \Delta t)| \\
 &= |R_{n+1}| + |\epsilon_n| + \Delta t L |\epsilon_n| \\
 &\leq C_R \Delta t^{p+1} + (1 + \Delta t L) |\epsilon_n| \\
 &\leq C_R \Delta t^{p+1} \frac{(1 + \Delta t L)^{n+1} - 1}{\Delta t L} + (1 + \Delta t L)^{n+1} |\epsilon_0| \\
 &\leq C_R \Delta t^p \frac{e^{L(T-t_0)}}{L} + e^{L(T-t_0)} |\epsilon_0|
 \end{aligned}$$

□

微分方程数值解法

第六周作业

桑明达 15300180062

2018 年 4 月 27 日

1 P93 1 Adams 格式的 Newton 表示

证明. 关于 $f(t, u)$ 的 Lagrange 插值多项式 $q(t)$ 可以表示为

$$q(t) = q(t_n + s\Delta t) = \sum_{j=0}^{k-1} (-1)^j \binom{-s+1}{j} \nabla^j f_{n+1}$$
$$\therefore u_{n+1} - u_n = \sum_{j=0}^k c_j \nabla^j f_{n+1}$$

其中 $c_j = (-1)^n \int_{t_n}^{t_{n+1}} \binom{-s+1}{j} ds$

□

2 P93 2 不同的初始选取对精度的影响

证明. 对于标准测试问题, 选取 $a = -2$ 、 $t_0 = 0$ 、 $dt = 0.1$ 、 $T = 1$ 、 $u_0 = 1$, 使用 '精确的初始值', 'EulerExplicit', 'Runge-Kutta2', 'Kutta3', 'Runge-Kutta4' 计算前四个初始值, 分别用四阶 Adams 格式和 Geer 格式进行精度测试, 结果分别如图 1、图 2。

□

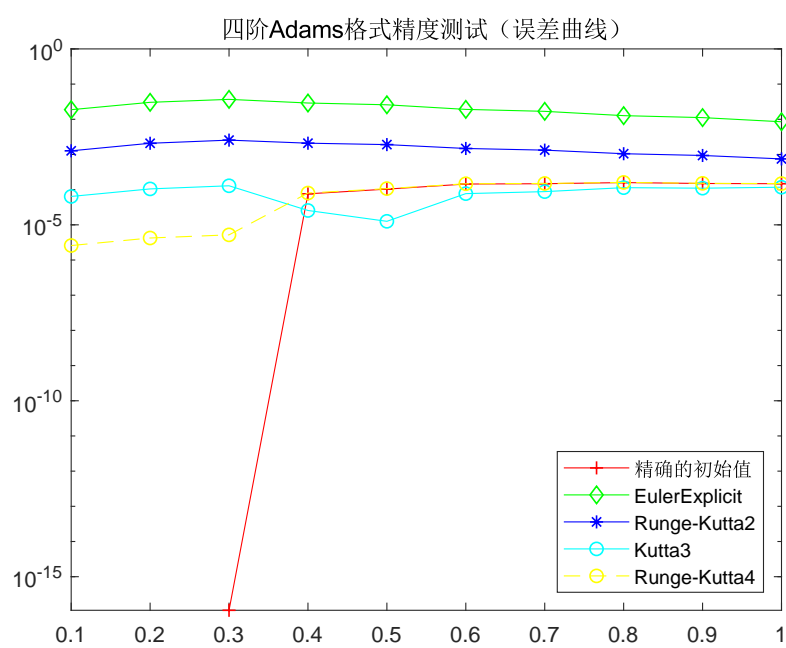


图 1: 四阶 Adams 格式

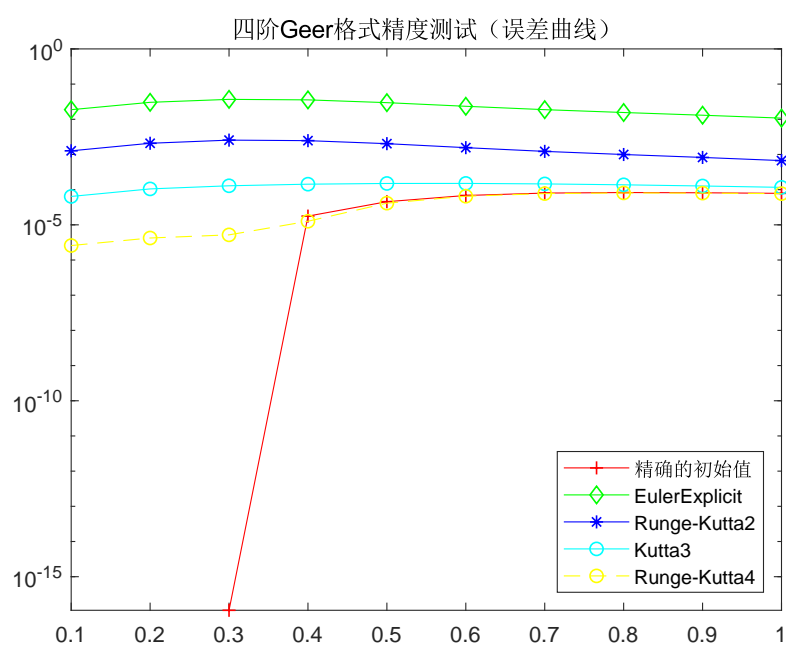


图 2: 四阶 Geer 格式

微分方程数值解法

第七周作业

桑明达 15300180062

2018 年 5 月 3 日

1 P118 1 $\frac{dx}{dt} = \lambda(-u + \cos(t))$

证明. (1) $u(t)$ 的精确表达式是

$$\begin{aligned} u(t) &= \frac{1}{e^{\lambda t}} \left(\int e^{\lambda t} \lambda \cos(t) dt + C \right) \\ &= \frac{\lambda}{1 + \lambda^2} (\sin(t) + \lambda \cos(t)) + C e^{-\lambda t} \end{aligned}$$

$$u(0) = 0 \text{ 时, } C = -\frac{\lambda^2}{1 + \lambda^2}$$

$$u(0) = 1 \text{ 时, } C = -\frac{1}{1 + \lambda^2}$$

(2) 图 1 到图 4, 是 $u(0) = 0$ 情形, 图 5 到图 8, 是 $u(0) = 1$ 情形。

(3) 图 9、图 10, 是 $u(0) = 0$ 情形, 图 10、图 11, 是 $u(0) = 1$ 情形。

从图 9、图 11 中可以看出, Gear 格式在 $\lambda = 1000$ 时, 保持了数值稳定。

而从图 10、图 12 中可以看出, Adams 格式在 $\lambda = 1000$ 时, 误差很大, 呈指数增长。

□

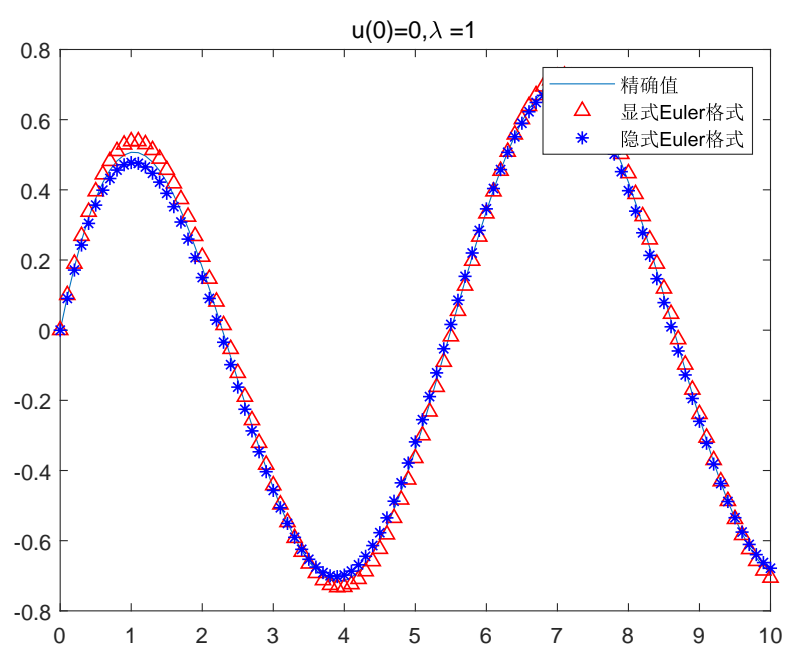


图 1

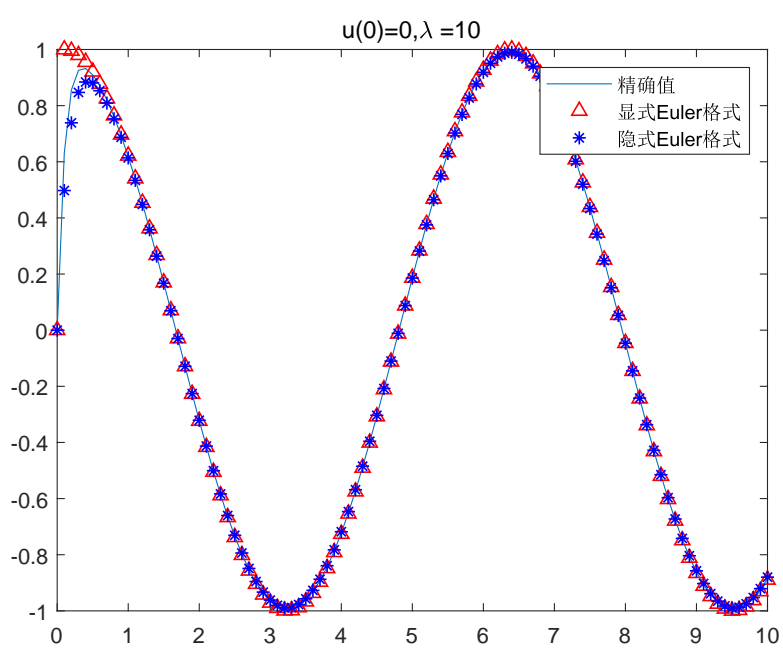


图 2

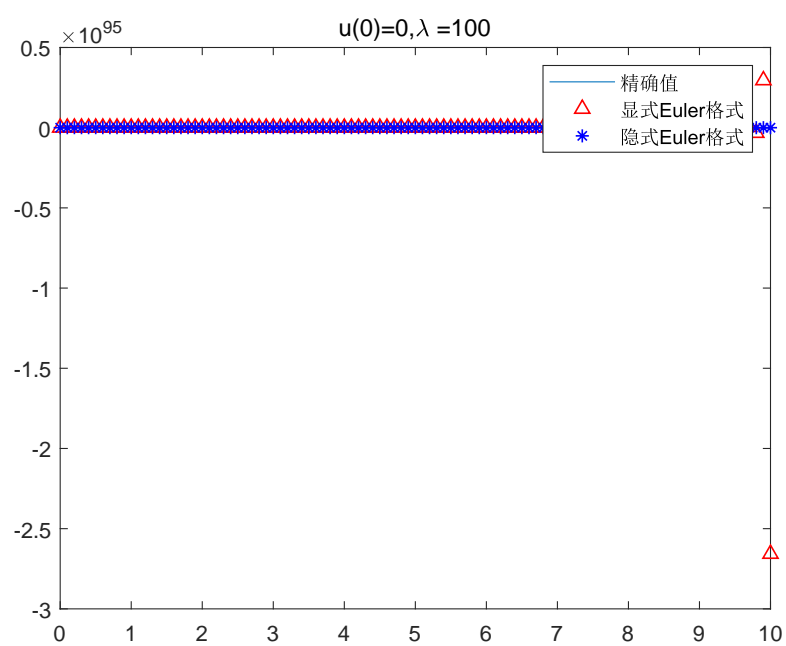


图 3

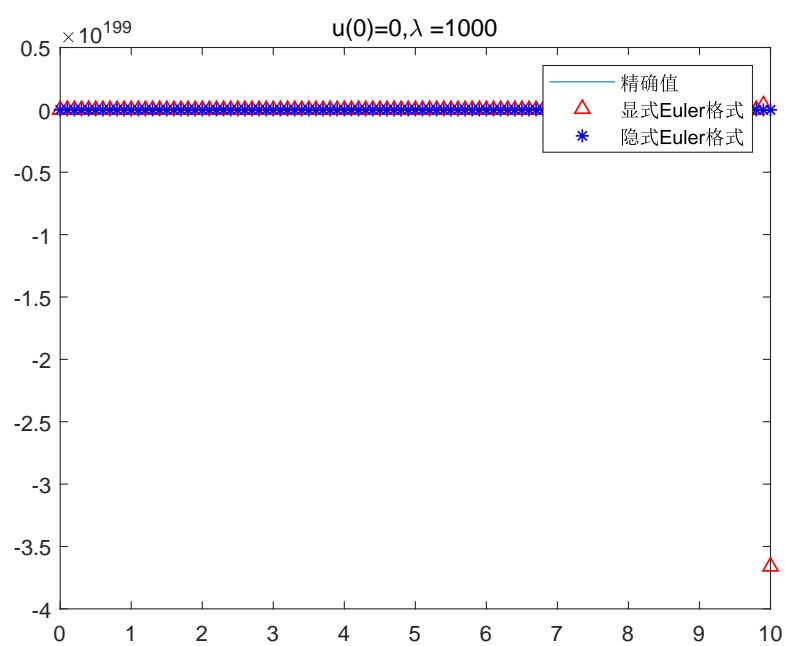


图 4

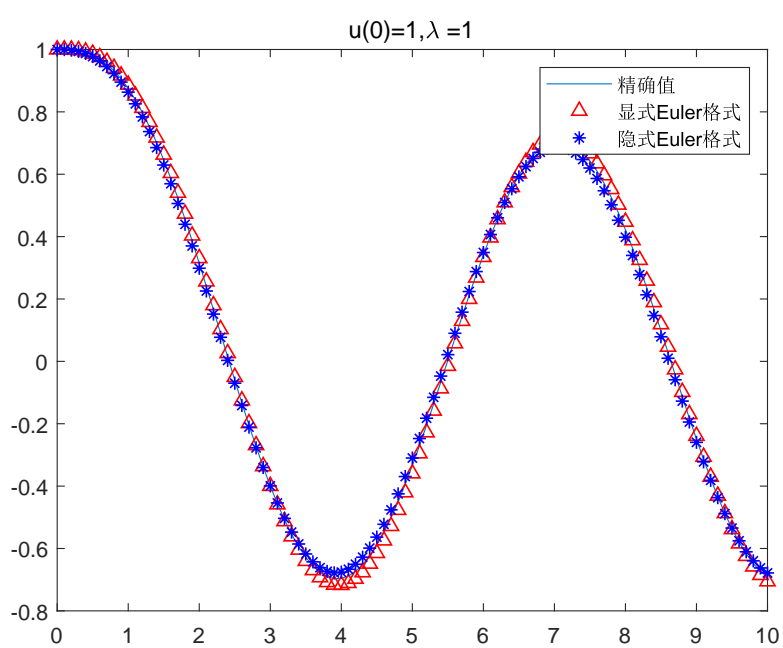


图 5

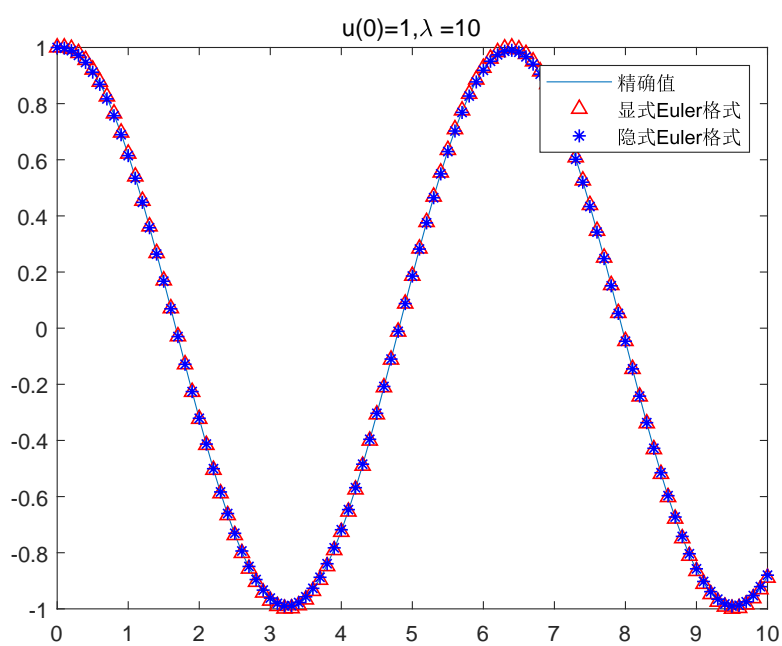


图 6

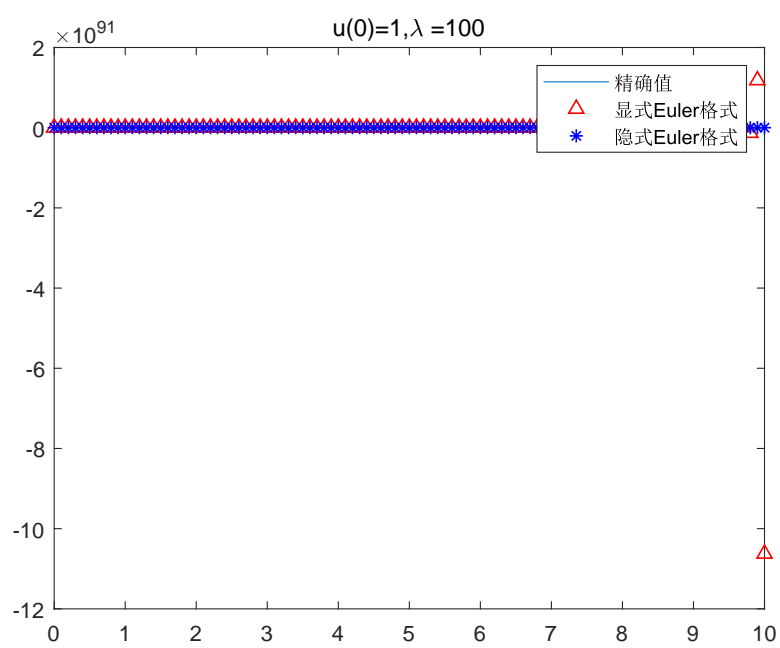


图 7

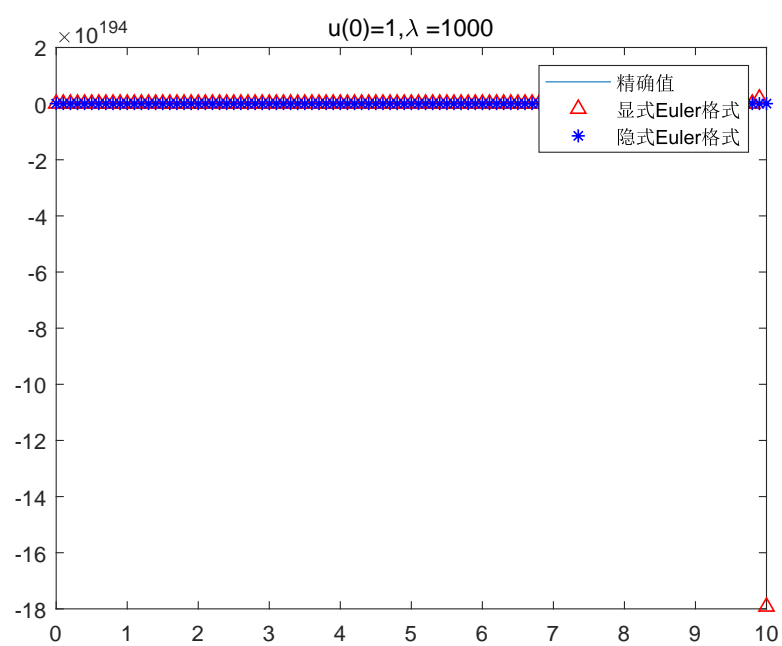


图 8

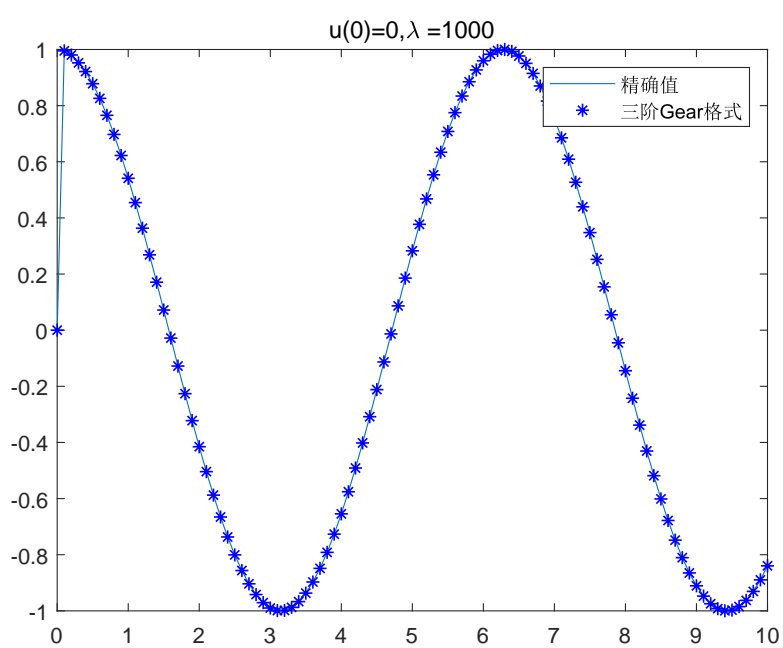


图 9

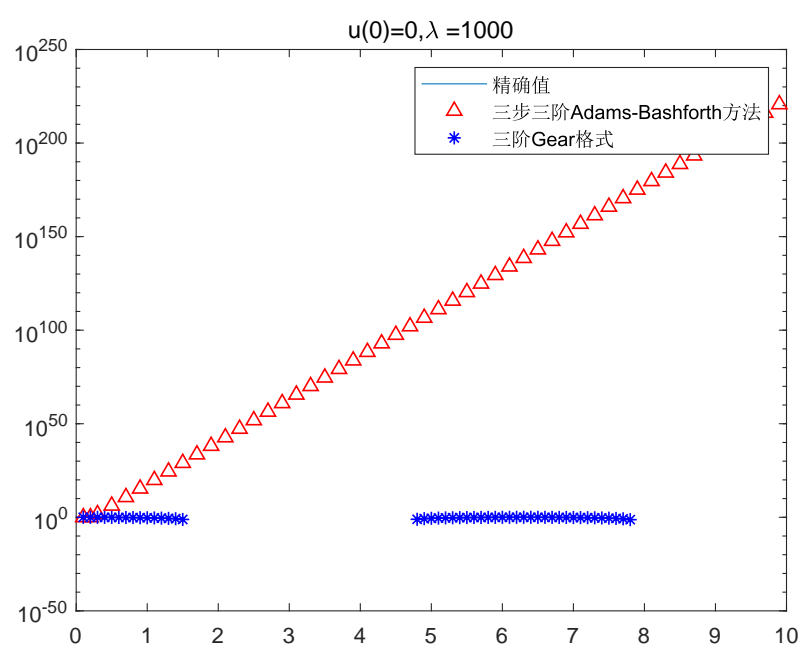


图 10

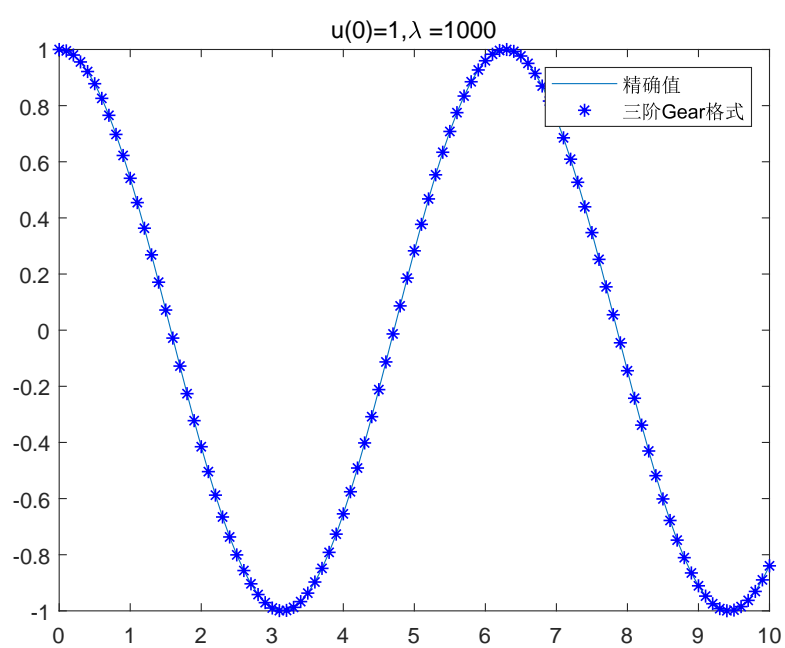


图 11

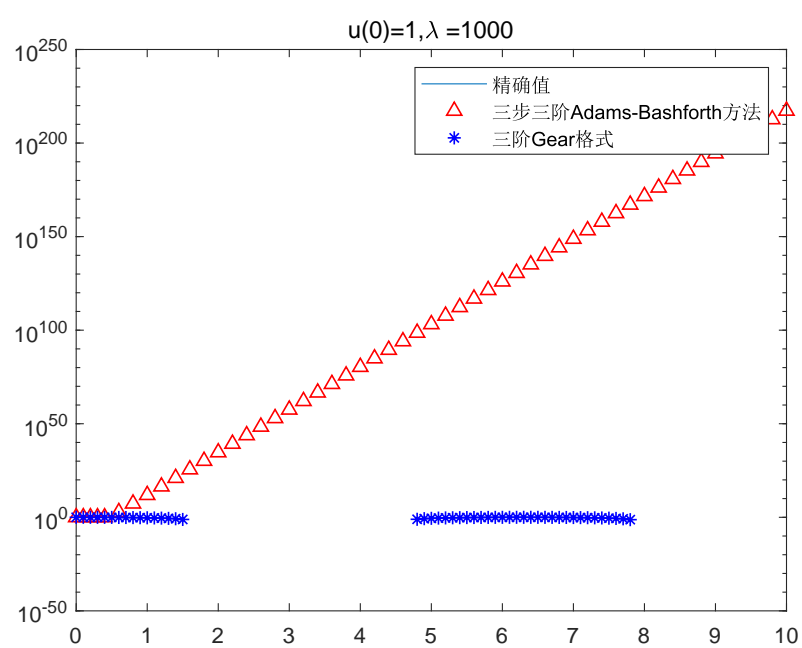


图 12

微分方程数值解法

第八周作业

桑明达 15300180062

2018 年 5 月 10 日

1 P136 附加求 Green 函数

证明. 当 $G(0) = 0; G'(1) = 0$, 有

$$G(x; x_0) = \begin{cases} x & 0 < x < x_0 \\ x_0 & x_0 < x < 1 \end{cases}$$

□

2 P136 1 求函数 u

证明. 解方程, 得

$$u = \frac{1}{k^2} + C_1 e^{kix} + C_2 e^{-kix}$$

代入 $u(0) = 0; u(1) = 0$, 得

$$C_1 = \frac{e^{-ki} - 1}{k^2 (e^{ki} - e^{-ki})}, C_2 = \frac{1 - e^{ki}}{k^2 (e^{ki} - e^{-ki})}$$

此时,

$$Lu = -u_{xx} - k^2 u = -1 < 0$$

而

$$u_x = kiC_1 (e^{kix} - e^{ki(1-x)})$$

即存在极值

$$u(0.5) = \frac{1}{k^2} > 0 = u(0) = u(1)$$

不符合极值原理。

□

3 P136 3 验证函数 $u(x)$

证明. (1) 对于初值

$$\begin{aligned} u(0) &= \int_0^1 G(0; x_0) f(x_0) dx_0 = 0 \\ u(1) &= \int_0^1 G(1; x_0) f(x_0) dx_0 = 0 \end{aligned}$$

(2) 对于 $\forall x \in (0, 1)$, 有

$$\begin{aligned} u(x) &= \int_x^1 G(x; x_0) f(x_0) dx_0 + \int_0^x G(x; x_0) f(x_0) dx_0 \\ &= \int_x^1 x(1-x_0) f(x_0) dx_0 + \int_0^x x_0(1-x) f(x_0) dx_0 \\ \therefore u_x &= -(1-x)xf(x) + \int_x^1 (1-x_0)f(x_0) dx_0 \\ &\quad + x(1-x)f(x) + \int_0^x x_0(-1)f(x_0) dx_0 \\ \therefore u_{xx} &= -(1-x)f(x) + (-x)f(x) \\ &= -f(x) \end{aligned}$$

即证。

□

微分方程数值解法

第九周作业

桑明达 15300180062

2018 年 5 月 16 日

1 P143 3 三点差分及精度

1.1 $u(x)$ 精确解

证明. (1) 当 $b = c = 0$ 时, 得到

$$u(x) = -\frac{1}{2a}(x^2 + c_1x)$$

代入新的边界条件 $u(0) = 0, \frac{du}{dx}(1) + u(1) = 0$, 得到

$$u(x) = \frac{x(3-2x)}{4a}$$

(2) 当 $b \neq 0, c = 0$ 时, 得到

$$u(x) = \alpha_1 \frac{b}{a} e^{\frac{b}{a}x} + \alpha_2 + \frac{x}{b}$$

代入新的边界条件, 得到

$$u(x) = \frac{-2a \left(e^{\frac{b}{a}x} - 1 \right)}{b \left((a+b) e^{\frac{b}{a}} - a \right)} + \frac{x}{b}$$

(3) 在其他情形下, 记特征方程 $-a\lambda^2 + b\lambda + c = 0$ 的两个根为 λ_1, λ_2 , 则

$$u(x) = \alpha_1 e^{\lambda_1 x} + \alpha_2 e^{\lambda_2 x} + \frac{1}{c}$$

代入新的边界条件，得到

$$u(x) = \frac{e^{\lambda_2}(1+\lambda_2)-1}{c(e^{\lambda_1}(1+\lambda_1)-e^{\lambda_2}(1+\lambda_2))}e^{\lambda_1 x} + \frac{1-e^{\lambda_1}(1+\lambda_1)}{c(e^{\lambda_1}(1+\lambda_1)-e^{\lambda_2}(1+\lambda_2))}e^{\lambda_2 x} + \frac{1}{c}$$

□

1.2 三点差分格式离散求解

证明. 求解结果如图 1。

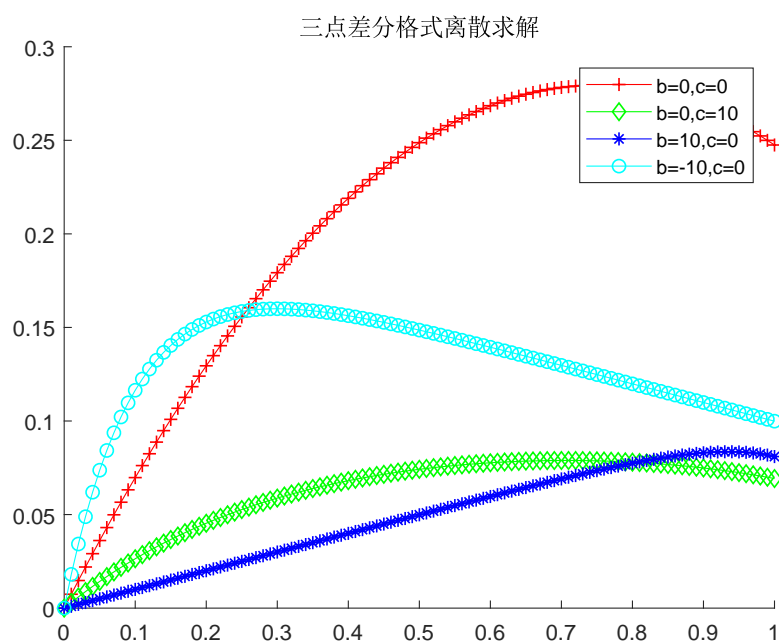


图 1: 三点差分格式离散求解

差分格式精度分析，精确解如图 2。

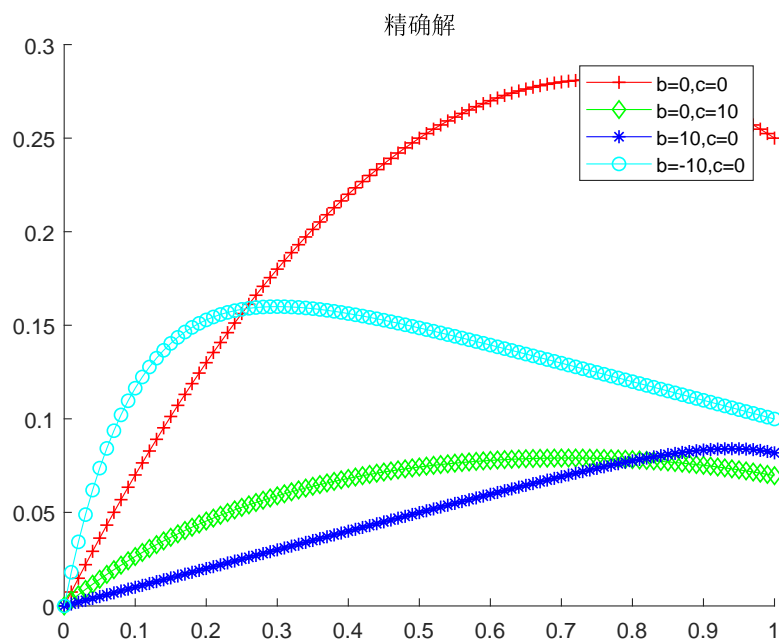


图 2: 精确解

其中,

$b=0, c=0$ 时误差率是 $6.024096e-03$

$b=0, c=10$ 时误差率是 $1.755775e-03$

$b=10, c=0$ 时误差率是 $1.745959e-03$

$b=-10, c=0$ 时误差率是 $1.211599e-04$

□

2 P146 图 3.5 标准三点差分格式和四阶 HOC 格式

如图 3。

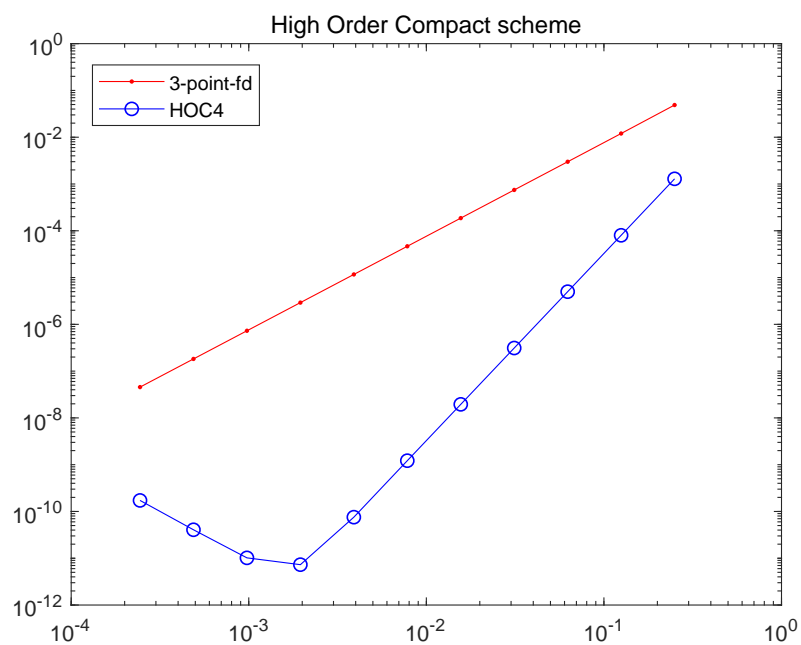


图 3: 标准三点差分格式和四阶 HOC 格式

微分方程数值解法

第十周作业

桑明达 15300180062

2018 年 5 月 22 日

1 P147 Poincaré 不等式离散形式 (式 3.1.54)

证明.

$$\begin{aligned}\mathbf{e} &= (e_1, e_2, \dots, e_N) \\ \delta_x^+ \mathbf{e} &= \left(\frac{e_2 - e_1}{h}, \frac{e_3 - e_2}{h}, \dots, \frac{e_N - e_{N-1}}{h} \right) \\ \therefore \sum_{i=1}^N e_i^2 &= \sum_{i=1}^N \left(\sum_{k=0}^{i-1} (e_{k+1} - e_k) \right)^2 \\ &\leq \sum_{i=1}^N \left(\sum_{k=0}^{i-1} (e_{k+1} - e_k)^2 \right) \left(\sum_{k=0}^{i-1} 1^2 \right) \\ &\leq N \sum_{i=1}^N \left(\sum_{k=0}^{i-1} (e_{k+1} - e_k)^2 \right) \\ &\leq N \sum_{i=1}^N \left(\sum_{k=0}^{N-1} (e_{k+1} - e_k)^2 \right) \\ &= N^2 \sum_{k=0}^{N-1} (e_{k+1} - e_k)^2 \\ &= \sum_{k=0}^{N-1} \left(\frac{e_{k+1} - e_k}{h} \right)^2 \\ \therefore \|\mathbf{e}\|_{\ell^2} &\leq \|\delta_x^+ \mathbf{e}\|_{\ell^2}\end{aligned}$$

□

2 P151 3 三点差分格式极值原理和最大模误差估计

证明. (1) 由三点差分格式有,

$$-f_i = \frac{d}{dx} \left(a(x) \frac{du}{dx} \right) \Big|_{x=x_i} \approx \frac{1}{h} \left(a(x_{i+\frac{1}{2}}) \frac{u_{i+1} - u_i}{h} - a(x_{i-\frac{1}{2}}) \frac{u_i - u_{i-1}}{h} \right)$$

上式可以化为

$$a(x_{i+\frac{1}{2}}) (u_{i+1} - u_i) = -h^2 f_i + a(x_{i-\frac{1}{2}}) (u_i - u_{i-1})$$

当 $f_i \geq 0$ 时, 如果 u_i 取得最小值, 因为 $a(x) \geq \alpha > 0$, 所以上式左边大于等于 0, 右边小于等于 0。得到 $i=0$ 或 n , 或者得到 u_i 恒为常数, 即 $u(x)$ 最小值只能在边界达到。

当 $f_i \leq 0$ 时, 如果 u_i 取得最大值, 因为 $a(x) \geq \alpha > 0$, 所以上式左边小于等于 0, 右边大于等于 0。得到 $i=0$ 或 n , 或者得到 u_i 恒为常数, 即 $u(x)$ 最大值只能在边界达到。

极值原理得证。

(2) 记

$$\mathbf{u} = (u_1, u_2, \dots, u_{N-1})^T$$

$$\mathbf{e} = (e_1, e_2, \dots, e_{N-1})^T$$

$$\mathbf{f} = (f_1, f_2, \dots, f_{N-1})^T$$

$$\mathbf{R} = (R_1, R_2, \dots, R_{N-1})^T$$

$$\mathbf{A} = \begin{pmatrix} a_{\frac{3}{2}} + a_{\frac{1}{2}} & -a_{\frac{3}{2}} & & & \\ -a_{\frac{3}{2}} & a_{\frac{5}{2}} + a_{\frac{3}{2}} & -a_{\frac{5}{2}} & & \\ & -a_{\frac{5}{2}} & a_{\frac{7}{2}} + a_{\frac{5}{2}} & \ddots & \\ & & \ddots & \ddots & -a_{N-2+\frac{1}{2}} \\ & & & -a_{N-1-\frac{1}{2}} & a_{N-1-\frac{1}{2}} + a_{N-1+\frac{1}{2}} \end{pmatrix}$$

那么有

$$\mathbf{A}\mathbf{u} = h^2 \mathbf{f}$$

$$\mathbf{A}\mathbf{e} = h^2 \mathbf{R}$$

因为 $a(x) \geq \alpha > 0$, 所以 \mathbf{A} 是正定阵, 所以

$$\mathbf{e} = h^2 \mathbf{A}^{-1} \mathbf{R}$$

$$\begin{aligned} \|\mathbf{e}\|_{\ell^\infty} &= h^2 \|\mathbf{A}^{-1} \mathbf{R}\|_{\ell^\infty} \\ &\leq h^2 \|\mathbf{A}^{-1}\| \|\mathbf{R}\|_{\ell^\infty} \end{aligned}$$

□

3 P164 1 五点差分格式问题

证明. (1) $\mathbf{A} = \begin{pmatrix} \mathbf{S} & \mathbf{T} & & \\ \mathbf{T} & \ddots & \ddots & \\ & \ddots & \ddots & \mathbf{T} \\ & & \mathbf{T} & \mathbf{S} \end{pmatrix}$

其中,

$$\begin{aligned} \mathbf{T} &= -\frac{1}{h^2} \mathbf{I} \\ \mathbf{S} &= \frac{1}{h^2} \begin{pmatrix} 4 & -1 & & \\ -1 & \ddots & \ddots & \\ & \ddots & \ddots & -1 \\ & & -1 & 4 \end{pmatrix} \end{aligned}$$

所以, $\mathbf{A} + \mathbf{I} = \begin{pmatrix} \mathbf{S} + \mathbf{I} & \mathbf{T} & & \\ \mathbf{T} & \ddots & \ddots & \\ & \ddots & \ddots & \mathbf{T} \\ & & \mathbf{T} & \mathbf{S} + \mathbf{I} \end{pmatrix}$

其中,

$$\mathbf{S} + \mathbf{I} = \begin{pmatrix} \frac{4}{h^2} + 1 & -\frac{1}{h^2} & & & \\ -\frac{1}{h^2} & \ddots & \ddots & & \\ & \ddots & \ddots & -\frac{1}{h^2} & \\ & & -\frac{1}{h^2} & \frac{4}{h^2} + 1 & \end{pmatrix}$$

容易得到 $\mathbf{A} + \mathbf{I}$ 也是成块 TST 矩阵。

(2) 记

$$\begin{aligned} \mathbf{u} &= (u_{11}, \dots, u_{n1}, u_{12}, \dots, u_{nn})^T \\ \mathbf{A}_0 &= \begin{pmatrix} 2 & 1 & 1 & \dots & 1 & 1 & 2 \\ 1 & & & & & & 1 \\ 1 & & & & & & 1 \\ \vdots & & & & & & \vdots \\ 1 & & & & & & 1 \\ 1 & & & & & & 1 \\ 2 & 1 & 1 & \dots & 1 & 1 & 2 \end{pmatrix} = \left(a_{ij}^{(0)} \right)_{n \times n} \\ \mathbf{a}_0 &= \left(a_{11}^{(0)}, \dots, a_{n1}^{(0)}, a_{12}^{(0)}, \dots, a_{nn}^{(0)} \right)^T \end{aligned}$$

所以有

$$(\mathbf{A} + \mathbf{I}) \mathbf{u} = \mathbf{f} + \mathbf{a}_0$$

类比书上定理 3.2.6 (P161), 在网格点 x_ℓ 上, 误差函数满足

$$-\Delta_h e_{h,\ell} + e_{h,\ell} = \Delta_h u(x_\ell) - \Delta u(x_\ell) + a_{h,\ell}^{(0)} \equiv R_{h,\ell} + a_{h,\ell}^{(0)}$$

由于 $a_{h,\ell}^{(0)}$ 在边界上不为 0, 结合稳定性估计, 得到格式不是二阶收敛。

(3) 由书上定理 3.2.8 (P161), 得到特征值是

$$\lambda_{j,k} = \frac{4}{h^2} \sin^2\left(\frac{j\pi}{2n}\right) + \frac{4}{h^2} \sin^2\left(\frac{k\pi}{2n}\right)$$

对应的特征向量是

$$\mathbf{u}_{m,\ell}^{(j,k)} = \frac{2}{n} \sin\left(\frac{mj\pi}{n}\right) \sin\left(\frac{\ell k\pi}{n}\right), 1 \leq m, \ell \leq n-1$$

□

微分方程数值解法

第十二周作业

桑明达 15300180062

2018 年 6 月 8 日

1 P195 式 4.2.16 Richardson

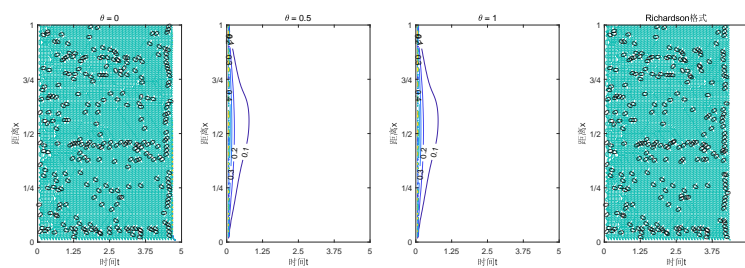
证明.

$$\begin{aligned} R_i^n &= \frac{u_i^{n+1} - u_i^{n-1}}{2\tau} - a\Delta_h u_i^n - (u_t(t_n, x_i) - au_{xx}(t_n, x_i)) \\ &= \left(\frac{u_i^{n+1} - u_i^{n-1}}{2\tau} - u_t(t_n, x_i) \right) - (a\Delta_h u_i^n - au_{xx}(t_n, x_i)) \\ &= \frac{\tau^2}{6} \frac{\partial^3 u}{\partial t^3}(t_n, x_i) + O(\tau^4) - \frac{ah^2}{12} \frac{\partial^4 u}{\partial t^4}(t_n, x_i) + O(h^4) \end{aligned}$$

□

2 P195 1 抛物线方程

证明. (1) 解析解未求出, 时间和空间都 100 等分为 101 点, 得到计算结果如图

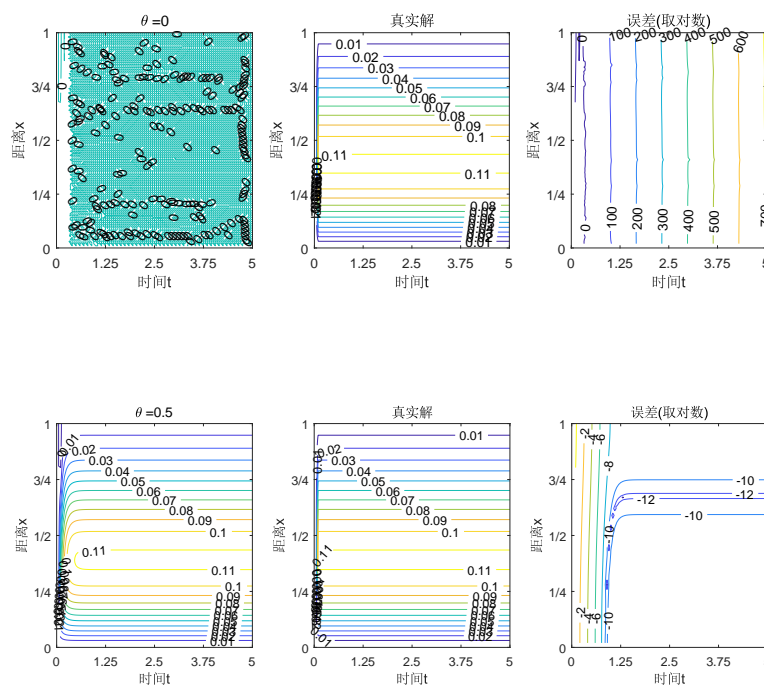


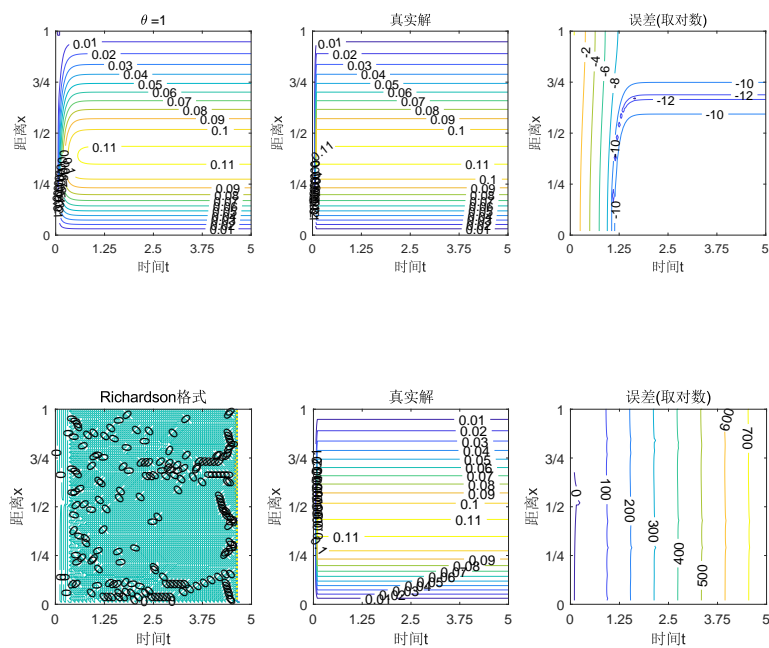
可以看出, $\theta = 0.5$ 或 1 时, 格式结果较好, 其中 $\theta = 1$ 时, 收敛到 0 。

(2) 解析解为

$$u(t, x) = \frac{1 - e^{-\pi^2 t}}{\pi^2} \sin \pi x + \frac{1 - e^{-4\pi^2 t}}{4\pi^2} \sin 2\pi x$$

时间和空间都 100 等分为 101 点, 得到计算结果如图





可以看出, $\theta = 0.5$ 或 1 时, 格式结果较好, 误差很小, 当 $t \rightarrow \infty$ 时, 得到的边值问题的解一致。 \square

微分方程数值解法

第十三周作业

桑明达 15300180062

2018 年 6 月 15 日

1 P207 DuFort-Frankel 格式截断误差

证明.

$$R_i^n = \frac{u_i^{n+1} - u_i^{n+1}}{2\tau} - a \frac{u_{i+1}^n - (u_i^{n+1} + u_i^{n-1}) + u_{i-1}^n}{h^2} - (u_t|_i^n - au_{xx}|_i^n)$$

分别定义 $R_t|_i^n, R_x|_i^n$

$$\begin{aligned} R_t|_i^n &= \frac{u_i^{n+1} - u_i^{n+1}}{2\tau} - u_t|_i^n \\ &= \frac{\tau^2}{6} u_{tt}|_i^n + O(\tau^3) \\ &= O(\tau^2) \end{aligned}$$

$$\begin{aligned} R_x|_i^n &= -a \frac{u_{i+1}^n - (u_i^{n+1} + u_i^{n-1}) + u_{i-1}^n}{h^2} + au_{xx}|_i^n \\ &= -\frac{a}{h^2} ((u_{i+1}^n + u_{i-1}^n) - (u_i^{n+1} + u_i^{n-1})) + au_{xx}|_i^n \\ &= -\frac{a}{h^2} ((2u_i^n + h^2 u_{xx}|_i^n + O(h^4)) - (2u_i^n + \tau^2 u_{tt}|_i^n + O(\tau^4))) + au_{xx}|_i^n \\ &= -\frac{a}{h^2} (O(h^4) - \tau^2 u_{tt}|_i^n - O(\tau^4)) \\ &= O(h^2) + O(\tau^2 h^{-2}) \end{aligned}$$

所以, $R_i^n = O(\tau^2 + h^2) + O(\tau^2 h^{-2})$

□

微分方程数值解法

第十四周作业

桑明达 15300180062

2018 年 6 月 23 日

1 Douglas-Rachford 格式稳定性分析

证明. 对于 Douglas-Rachford 格式, 使用 Von Neumann 传播因子法分析, 有

$$\frac{u^{n+1} - u^n}{\tau} = \Delta_h u^{n+1} - \tau \delta_x^2 \delta_y^2 (u^{n+1} - u^n)$$

记

$$\begin{aligned} u_{i,j}^n &= g(n) e^{i(\omega_x x_i + \omega_y y_j)} \\ \Delta_h u_{i,j}^n &= g(n) e^{i(\omega_x x_i + \omega_y y_j)} \left(\frac{e^{i\omega_x h_x} + e^{-i\omega_x h_x}}{h_x^2} + \frac{e^{i\omega_y h_y} + e^{-i\omega_y h_y}}{h_y^2} \right) \\ &= -4g(n) e^{i(\omega_x x_i + \omega_y y_j)} \left(\frac{\sin^2 \frac{\omega_x h_x}{2}}{h_x^2} + \frac{\sin^2 \frac{\omega_y h_y}{2}}{h_y^2} \right) \end{aligned}$$

类似, 有

$$\begin{aligned} \delta_x u_{i,j}^n &= -4g(n) e^{i(\omega_x x_i + \omega_y y_j)} \frac{\sin^2 \frac{\omega_x h_x}{2}}{h_x^2} \\ \delta_y u_{i,j}^n &= -4g(n) e^{i(\omega_y y_i + \omega_x x_j)} \frac{\sin^2 \frac{\omega_y h_y}{2}}{h_y^2} \\ \delta_x \delta_y u_{i,j}^n &= 16g(n) e^{i(\omega_y y_i + \omega_x x_j)} \frac{\sin^2 \frac{\omega_x h_x}{2}}{h_x^2} \frac{\sin^2 \frac{\omega_y h_y}{2}}{h_y^2} \end{aligned}$$

代入格式左边, 有

$$\text{left} = \frac{g(n+1)e^{i(\omega_x x_i + \omega_y y_j)} - g(n)e^{i(\omega_x x_i + \omega_y y_j)}}{\tau}$$

代入格式右边, 有

$$\begin{aligned} \text{right} = & -4g(n+1)e^{i(\omega_x x_i + \omega_y y_j)} \left(\frac{\sin^2 \frac{\omega_x h_x}{2}}{h_x^2} + \frac{\sin^2 \frac{\omega_y h_y}{2}}{h_y^2} \right) \\ & - 16\tau(g(n+1) - g(n))e^{i(\omega_x x_i + \omega_y y_j)} \frac{\sin^2 \frac{\omega_x h_x}{2}}{h_x^2} \frac{\sin^2 \frac{\omega_y h_y}{2}}{h_y^2} \end{aligned}$$

移项化简, 有

$$g(n+1) = g(n) \frac{1 + 16\tau^2 \frac{\sin^2 \frac{\omega_x h_x}{2}}{h_x^2} \frac{\sin^2 \frac{\omega_y h_y}{2}}{h_y^2}}{1 + 4\tau \frac{\sin^2 \frac{\omega_x h_x}{2}}{h_x^2} + 4\tau \frac{\sin^2 \frac{\omega_y h_y}{2}}{h_y^2} + 16\tau^2 \frac{\sin^2 \frac{\omega_x h_x}{2}}{h_x^2} \frac{\sin^2 \frac{\omega_y h_y}{2}}{h_y^2}}$$

所以, 最终得到

$$|G| = \left| \frac{1 + 16\tau^2 \frac{\sin^2 \frac{\omega_x h_x}{2}}{h_x^2} \frac{\sin^2 \frac{\omega_y h_y}{2}}{h_y^2}}{1 + 4\tau \frac{\sin^2 \frac{\omega_x h_x}{2}}{h_x^2} + 4\tau \frac{\sin^2 \frac{\omega_y h_y}{2}}{h_y^2} + 16\tau^2 \frac{\sin^2 \frac{\omega_x h_x}{2}}{h_x^2} \frac{\sin^2 \frac{\omega_y h_y}{2}}{h_y^2}} \right| \leq 1$$

所以 Douglas-Rachford 格式无条件稳定。 \square

2 P222 2 Leap-frog 格式截断误差以及数值稳定性

证明. 截断误差为

$$R_i^n = \frac{\tau^2}{6} \frac{\partial^3 u}{\partial t^3}(t_n, x_i) + O(\tau^4) + c \frac{h^2}{6} \frac{\partial^3 u}{\partial x^3} + O(h^4)$$

对于 Leap-frog 格式, 使用 Von Neumann 传播因子法分析, 有

$$G_{\pm} = i \frac{c\tau}{h} \sin \omega h \pm \sqrt{1 - \left(\frac{c\tau}{h} \sin \omega h \right)^2}$$

所以若 $1 - \left(\frac{c\tau}{h} \sin \omega h \right)^2 \geq 0$, 则 Leap-frog 格式稳定; 否则不一定。 \square

3 P222 3 Lax-Wendroff 格式精度以及数值稳定性

证明. 截断误差为

$$R_i^n = \frac{\tau^2}{6} \frac{\partial^3 u}{\partial t^3}(t_n, x_i) + c \frac{h^2}{6} \frac{\partial^3 u}{\partial x^3}(t_n, x_i) + O(\tau^4) + O(h^3) + O(\tau h^3)$$

所以, 数值格式是关于时间空间二阶精度的。

对于 Lax-Wendroff 格式, 使用 Von Neumann 传播因子法分析, 有

$$|G|^2 = 1 - 4r^2 (1 - r^2) \sin^4 \frac{\omega h}{2}$$

所以当 $r \leq 0$ 时, 格式稳定。 \square

4 P222 4 Beam-Warming 格式精度以及稳定性

证明. 截断误差为

$$R_i^n = \frac{\tau^2}{6} \frac{\partial^3 u}{\partial t^3}(t_n, x_i) + O(\tau^3) - \frac{ch^2}{3} \frac{\partial^2 u}{\partial x^2} + O(h^3) + \frac{c^2 \tau h}{2} \frac{\partial^3 u}{\partial x^3} + O(\tau h^2)$$

对于 Beam-Warming 格式, 使用 Von Neumann 传播因子法分析, 有

$$|G|^2 = 1 + 4r(r-1)^2(r-2) \sin^4 \frac{\omega h}{2}$$

所以若 $r \leq 2$ 时, $G \leq 1$, 格式稳定。 \square

微分方程数值解法

第十五周作业

桑明达 15300180062

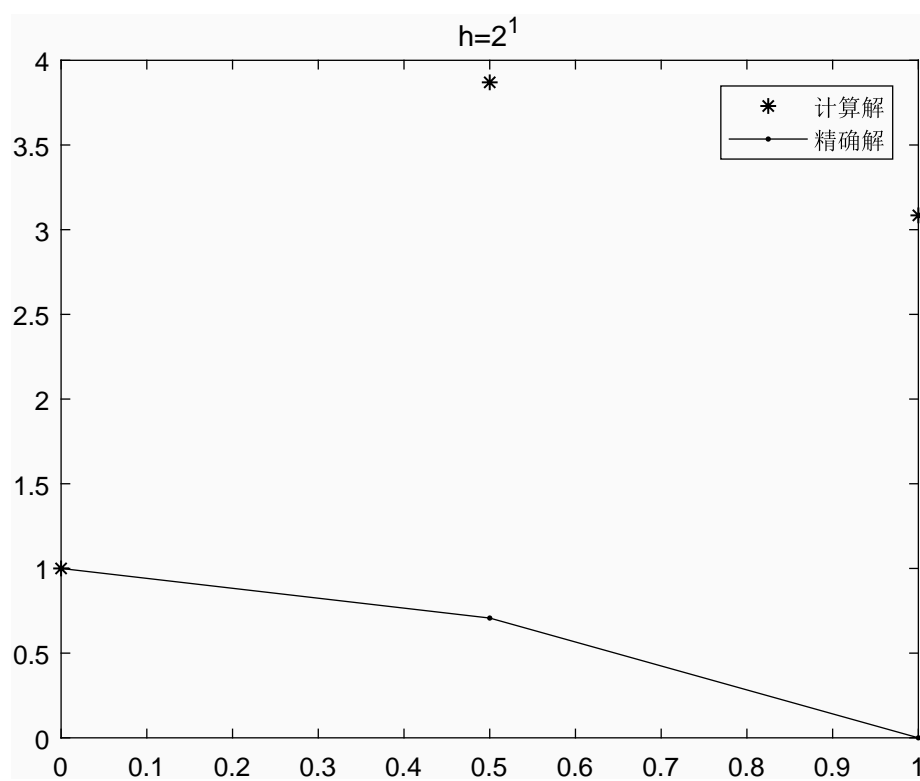
2018 年 6 月 27 日

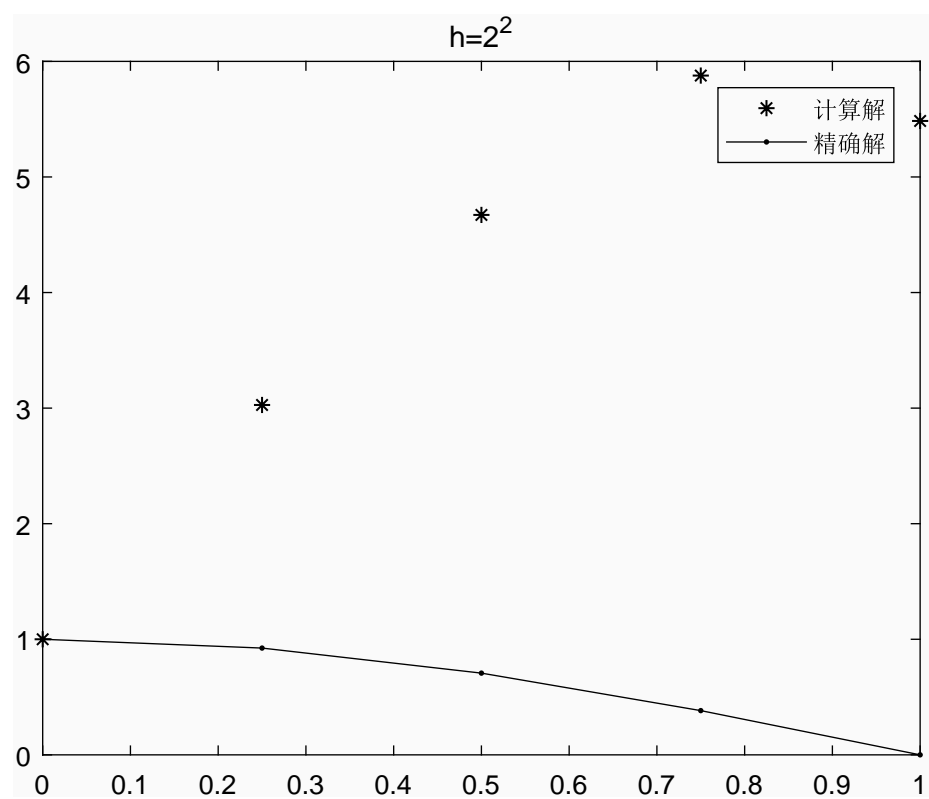
1 P254 3 用线性有限元求解混合边值问题

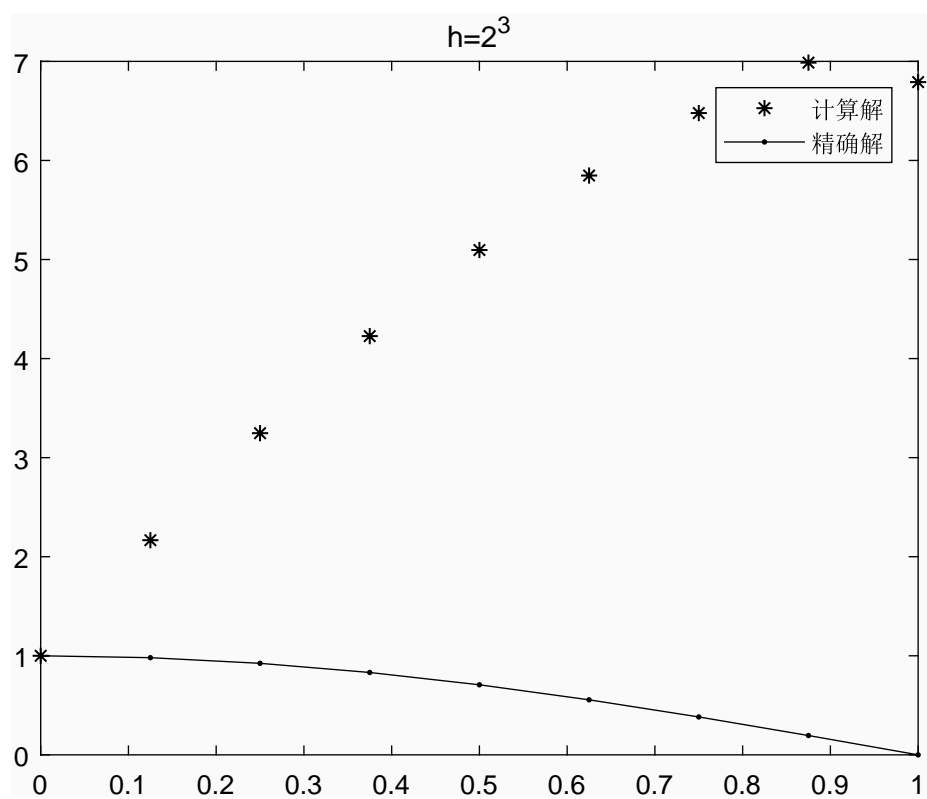
证明. 我使用下面的 \mathbf{L} 、 \mathbf{F} , 计算结果如后图, 偏差比较大, 求正确求解方式

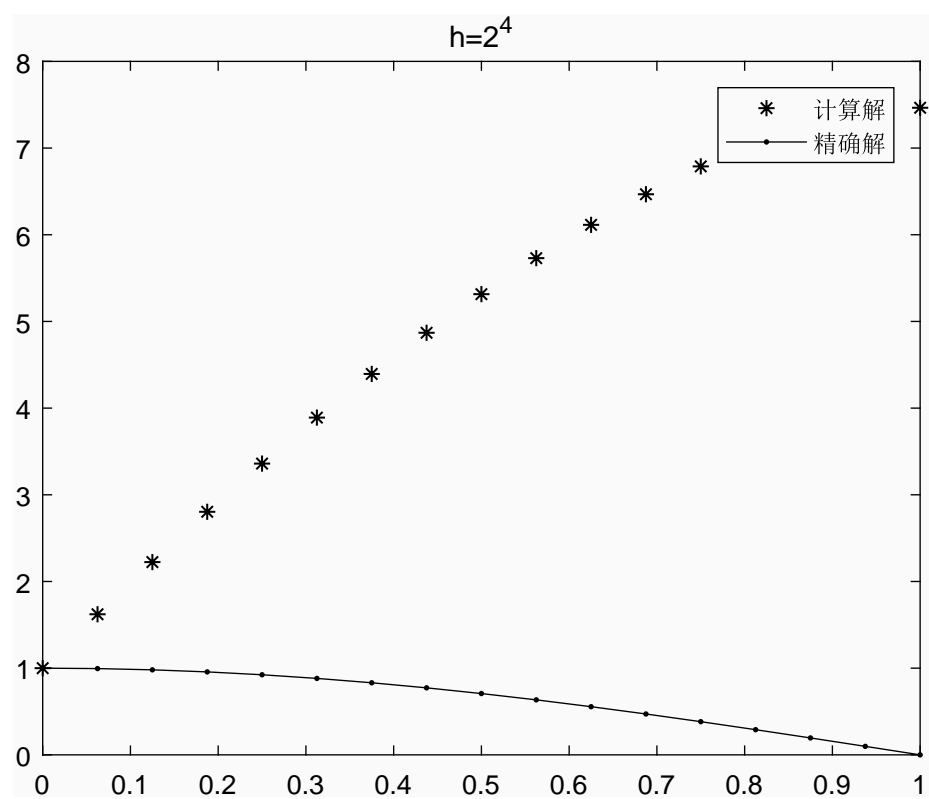
$$\mathbf{L} = \begin{pmatrix} a(\varphi_1, \varphi_1) & a(\varphi_1, \varphi_2) & & & \\ a(\varphi_2, \varphi_1) & a(\varphi_2, \varphi_2) & a(\varphi_2, \varphi_3) & & \\ & a(\varphi_3, \varphi_2) & a(\varphi_3, \varphi_3) & \ddots & \\ & & \ddots & \ddots & a(\varphi_{n-2}, \varphi_{n-1}) \\ & & & a(\varphi_{n-1}, \varphi_{n-2}) & a(\varphi_{n-1}, \varphi_{n-1}) + a(\varphi_{n-1}, \varphi_n) \end{pmatrix}$$

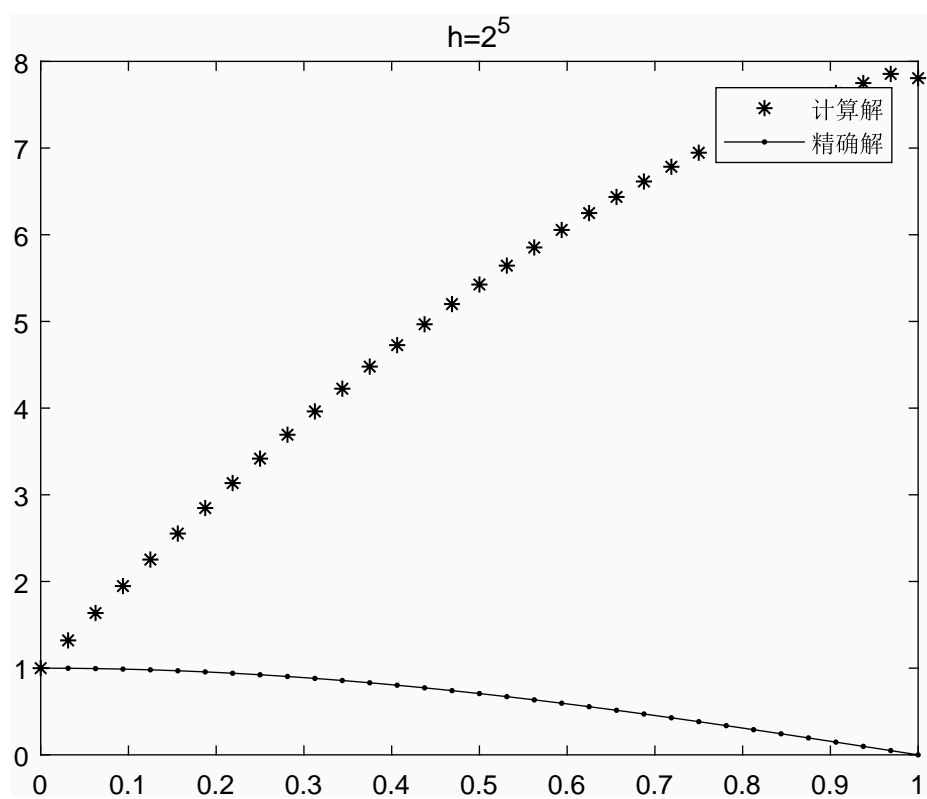
$$\mathbf{F} = \begin{pmatrix} \langle f, \varphi_1 \rangle - u(0)a(\varphi_1, \varphi_0) \\ \langle f, \varphi_2 \rangle \\ \langle f, \varphi_3 \rangle \\ \vdots \\ \langle f, \varphi_{n-2} \rangle \\ \langle f, \varphi_{n-1} \rangle - hu'(1)a(\varphi_n, \varphi_{n-1}) \end{pmatrix}$$

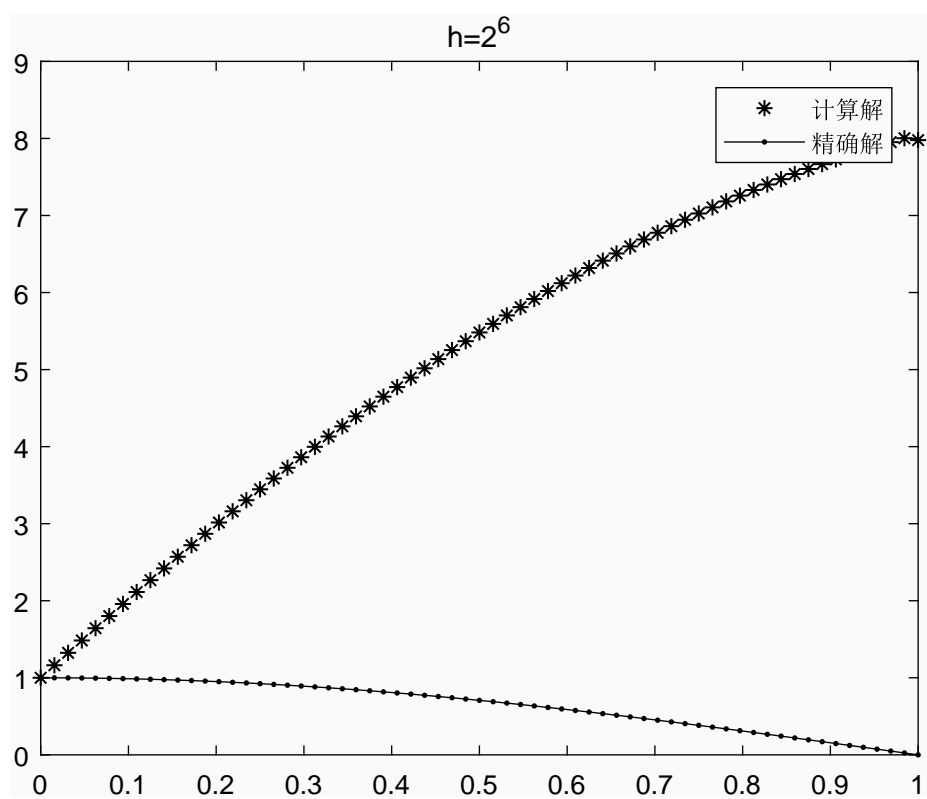












□